Freistaat Bayern, Staatliches Bauamt Aschaffenburg

Straße / Abschnittsnummer / Station: B 469_160_0,406-3,274 bis 180_0,000-3,308

B 469

Ausbau zwischen der AS Stockstadt (AB 16) und der AS Großostheim (St 3115)

PROJIS-Nr.:

FESTSTELLUNGSENTWURF

Unterlage 22.1

- Verkehrsuntersuchung – nachrichtlich

aufgestellt: Staatliches Bauamt Aschaffenburg Klaus Schwab; Ltd. Baudirektor Aschaffenburg, den 03.08.2020	



Verkehrsuntersuchung zum Ausbau der B 469 zwischen St 3115 und AB 16 unter Einbeziehung der AS B26 Aschaffenburg



Auftraggeber: Staatliches Bauamt Aschaffenburg

Fachbereich Straßenbau

Cornelienstraße 1 63739 Aschaffenburg

Auftragnehmer: Brilon Bondzio Weiser

Ingenieurgesellschaft für Verkehrswesen mbH

Universitätsstraße 142

44799 Bochum

Tel.: 0234 / 97 66 000 Fax: 0234 / 97 66 0016 E-Mail: info@bbwgmbh.de

Bearbeitung: Dr.-Ing. Frank Weiser

Dipl.-Ing. Alexander Sillus Dipl.-Ing. Nadine Sauermann

Projektnummer: 3.1516-3

Datum: Juni 2019

lnh	altsve	erzeichnis	Seite
1	Aus	gangssituation und Aufgabenstellung	2
2	Ang	ewandte Berechnungsverfahren	5
3	Verk	ehrserhebung	9
4	Erge	ebnisse des Verkehrsmodells	13
	4.1	Analyse	13
	4.2	Prognose-Nullfall	14
	4.3	Prognose-Planfall (mit Ausbau B 469)	16
5	Ans	chlussstelle B 26 Aschaffenburg	19
	5.1	Vorhandene Situation	19
	5.2	Verkehrstechnische Berechnung für die Knotenpunkte mit der B 26 im Planfall	20
	5.3	Verkehrstechnische Berechnung für die B 469	21
6	Prog	gnosehorizont 2035	22
7	Lärr	ntechnische Kennwerte	23
Lite	eratur	verzeichnis	26

1 Ausgangssituation und Aufgabenstellung

Das Staatliche Bauamt Aschaffenburg plant zur Verbesserung des Verkehrsflusses den Ausbau im Bereich der B 469 zwischen der AS Stockstadt und der St 3115 mit einem verkehrsgerechten Querschnitt. Hierdurch soll auch eine erhebliche Verbesserung der Entwässerungssituation erreicht werden. Zudem ist eine Erhöhung der Verkehrssicherheit durch die Ergänzung des Standstreifens und die Gewährleistung der Haltesicht beabsichtigt.

Im Rahmen des Planfeststellungsverfahrens zum Ausbau der B 469 im Bereich südlich von Stockstadt soll durch diese Verkehrsuntersuchung die zu erwartenden Verkehrsbelastungen und die sich daraus ergebenen lärmtechnischen Kennwerte ermittelt werden.

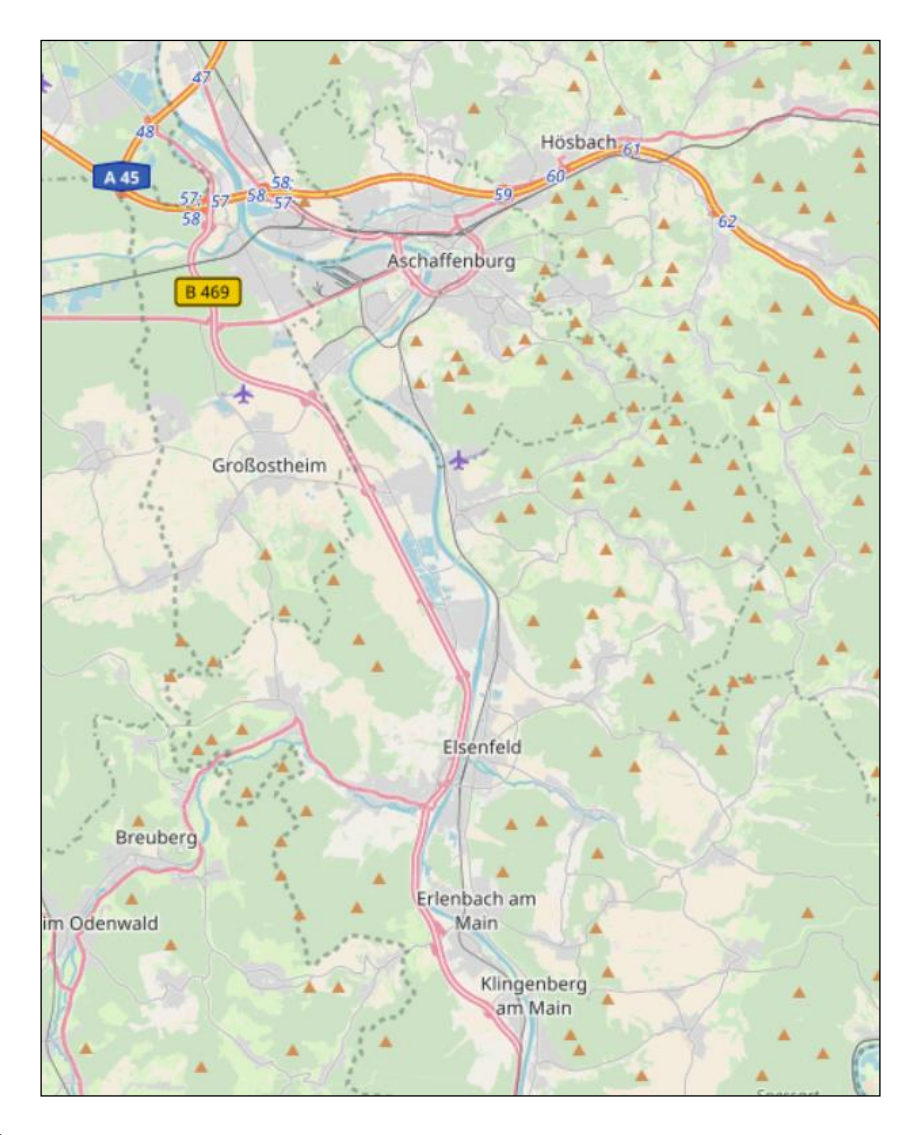


Abbildung 1: Übersicht Untersuchungsraum (Quelle: Openstreetmap)

Zur Beantwortung dieser Frage steht das 2018 aktualisierte, regionale Verkehrsmodell "Bayerischer Untermain" des Staatlichen Bauamts Aschaffenburg zur Verfügung. Dieses auf den aktuellen, auch von der Bundesverkehrswegeplanung verwendeten Prognosehorizont 2030 fortgeschriebene regionale Verkehrsmodell "Bayerischer Untermain" deckt die aneinander grenzenden Bereiche der Bundesländer Baden-



Württemberg, Hessen und Bayern zwischen Bad-Soden / Salmünster im Norden und Heilbronn im Süden sowie zwischen Mannheim im Westen und Würzburg im Osten ab.

Das Modell, das neben den bereits fest geplanten Maßnahmen im Straßennetz und den absehbaren demografischen und wirtschaftlichen Entwicklungen auch die im näheren Untersuchungsraum relevanten Veränderungen berücksichtigt, wurde der Brilon Bondzio Weiser GmbH zur Durchführung weiterer Untersuchungen zur Verfügung gestellt.

Auf Grundlage dieses Modells wurden zwei Prognosefälle neu umgelegt.

- Der Prognose-Nullfall sieht keinen Ausbau im Bereich der B 469 zwischen der AS Stockstadt und der St 3115 vor.
- Der Prognose-Planfall sieht einen Ausbau (RQ 31) der B 469 zwischen St 3115 und AB 16 vor.

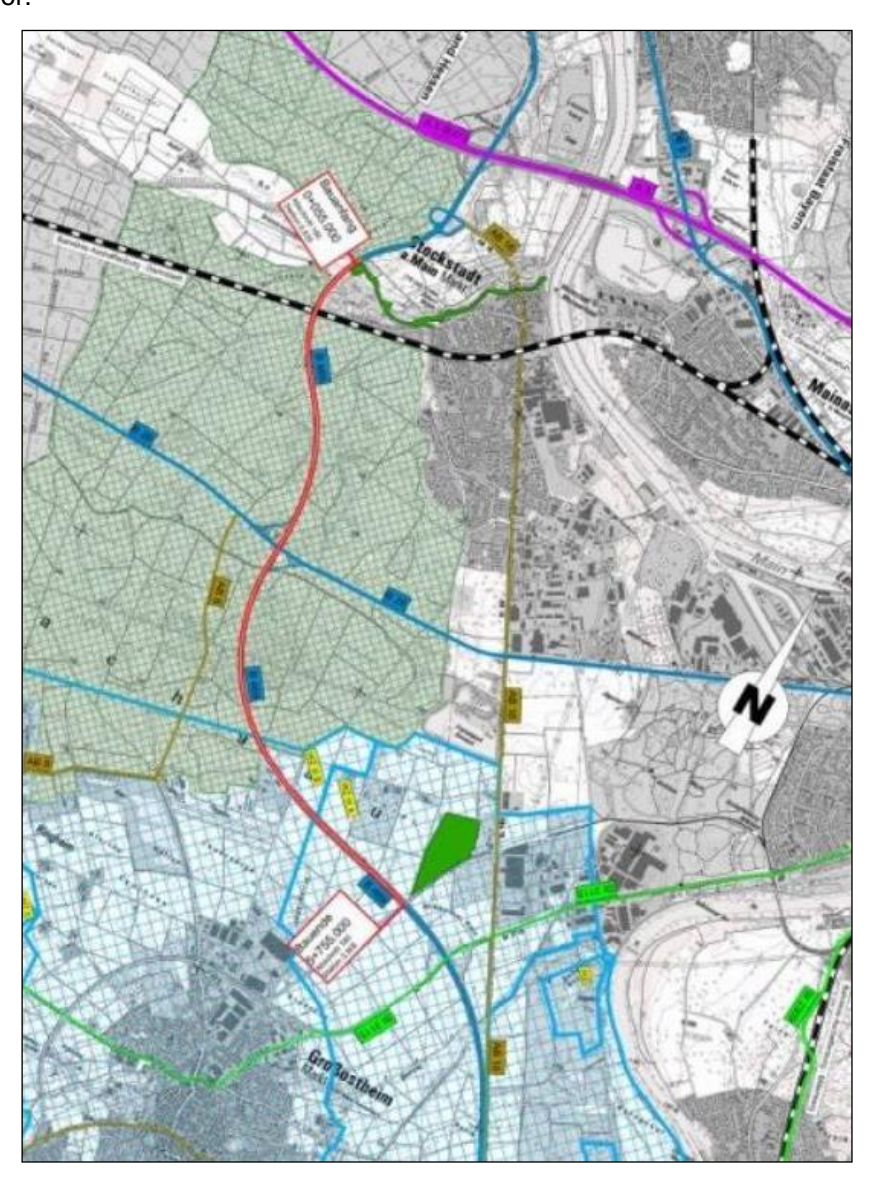


Abbildung 2: Netzmaßnahme B 26 (Quelle: Staatliches Bauamt Aschaffenburg)

Darüber hinaus soll für die beiden Prognosefälle auf Grundlage der Prognose 2030 eine Hochrechnung auf das Prognosejahr 2035 erfolgen. Hierzu sollen die demografischen Entwicklungen in Aschaffenburg und Umgebung berücksichtigt werden.

Zudem sollen die Kennwerte für lärm- und schadstofftechnische Berechnungen auch für dieses Prognosejahr bereitgestellt werden.



2 Angewandte Berechnungsverfahren

Die Verkehrsqualität an Knotenpunkten und Strecken kann mit den Berechnungsverfahren aus dem Handbuch für die Bemessung von Straßenverkehrsanlagen (HBS 2015) ermittelt werden. Dabei werden verschiedene Berechnungsverfahren für unterschiedliche Straßenkategorien angewandt.

Autobahn

Die Überprüfung und die Ermittlung der Verkehrsqualität können unter Anwendung der aktuellen Berechnungsverfahren der Kapitel A3 und A4 im Teil A aus dem HBS 2015 durchgeführt werden.

Für den Kraftfahrzeugverkehr wird die Qualität des Verkehrsablaufs an den verschiedenen Teilknotenpunkte durch Bestimmung des Auslastungsgrades beurteilt und den festgelegten Qualitätsstufen zugeordnet. Diese sind in der nachfolgenden Tabelle dargestellt.

Tabelle 1: Qualitätsstufen des Verkehrsablaufs (QSV) in Abhängigkeit vom Auslastungsgrad (Tab. A3-1 und A4-1 HBS 2015)

Qualitätsstufe (QSV)	Auslastungsgrad x[-]
A	≤ 0,30
В	≤ 0,55
С	≤ 0,75
D	≤ 0,90*
E	≤ 1,00
F	> 1,00

^{* 0,92} für (Teil-) Strecken mit einer Streckenbeeinflussungsanlage (SBA) bzw. Einfahrten des Typs E1 und E2 mit Zuflussregelung



Die zur Bewertung des Verkehrsablaufes herangezogenen Qualitätsstufen entsprechen den Empfehlungen gemäß HBS. Die Qualitätsstufen lassen sich wie folgt charakterisieren.

Tabelle 2: Grenzwerte der mittleren Wartezeit für die Qualitätsstufen gemäß HBS 2015

Stufe	Autobahnknotenpunkte	Qualität des Verkehrsablaufs
Α	Die Kraftfahrer werden äußerst selten von anderen beeinflusst. Der Auslastungsgrad ist sehr gering. Die Fahrer können ihre Geschwindigkeit weitgehend frei wählen und die notwendigen Fahrstreifenwechsel ungehindert durchführen. Der Verkehrsfluss ist frei.	sehr gut
В	Es treten geringfügige Einflüsse durch andere Kraftfahrer auf, die das individuelle Fahrverhalten jedoch nur unwesentlich bestimmen. Der Auslastungsgrad ist gering. Die Fahrer können ihre Geschwindigkeit weitgehend frei wählen und die notwendigen Fahrstreifenwechsel weitgehend ungehindert durchführen. Der Verkehrsfluss ist nahezu frei.	gut
С	Die Anwesenheit anderer Kraftfahrzeuge macht sich deutlich bemerkbar. Der Auslastungsgrad liegt im mittleren Bereich. Die individuellen Geschwindigkeiten sind nicht mehr frei wählbar. Fahrstreifenwechsel bedürfen der wechselseitigen Abstimmung mit anderen Kraftfahrern. Der Verkehrszustand ist stabil.	befriedigend
D	Es treten ständige Interaktionen zwischen den Kraftfahrern auf, bis hin zu gegenseitigen Behinderungen. Der Auslastungsgrad ist hoch. Die individuelle Geschwindigkeitswahl ist erheblich eingeschränkt. Notwendige Fahrstreifenwechsel können nur nach sorgfältiger Abstimmung mit anderen Verkehrsteilnehmern durchgeführt werden. Der Verkehrszustand ist noch stabil.	ausreichend
E	Die Kraftfahrzeuge bewegen sich weitgehend in Kolonnen. Notwendige Fahrstreifenwechsel können nur durchgeführt werden, wenn in den Sicherheitsabstand zwischen den Fahrzeugen auf dem benachbarten Fahrstreifen hineingefahren wird. Der Auslastungsgrad ist sehr hoch. Geringe oder kurzfristige Zunahmen der Verkehrsstärke können zu Staubildung und Stillstand führen. Bereits bei kleinen Unregelmäßigkeiten innerhalb der Verkehrsströme besteht die Gefahr eines Verkehrszusammenbruchs. Der Verkehrszustand ist instabil. Die Kapazität des Teilknotenpunkts wird erreicht.	mangelhaft
F	Die zufließende Verkehrsstärke ist größer als die Kapazität. Der Verkehr bricht zusammen, d. h. es kommt oberhalb des Teilknotenpunkts zu Stillstand und Stau im Wechsel mit Stop-and-go-Verkehr. Diese Situation löst sich erst nach einem deutlichen Rückgang der Verkehrsnachfrage wieder auf. Der Teilknotenpunkt ist überlastet.	ungenügend



Vorfahrtgeregelte Einmündungen und Kreuzungen

Die Kapazität und die Qualität des Verkehrsablaufs an vorfahrtgeregelten Einmündungen und Kreuzungen können gemäß dem in Kapitel L5 im Teil L des HBS 2015 dokumentierten Berechnungsverfahren ermittelt werden. Dazu erfolgte der Einsatz des Programms KREISEL 8.1.7.

Für den Kraftfahrzeugverkehr im untergeordneten Netz wird die Qualität des Verkehrsablaufs in den einzelnen Zufahrten eines Knotenpunktes anhand der mittleren Wartezeit beurteilt und festgelegten Qualitätsstufen zugeordnet (vgl. Tabelle 3). An signalgesteuerten Knotenpunkten ist der Fahrstreifen mit der größten mittleren Wartezeit maßgebend für die Einstufung des gesamten Knotenpunktes, an vorfahrtgeregelten Knotenpunkten der Strom mit der größten mittleren Wartezeit.

Tabelle 3: Grenzwerte der mittleren Wartezeit für die Qualitätsstufen des Verkehrsablaufs gemäß HBS 2015 (Tab. L5-1)

Qualitätsstufe (QSV)	Kfz-Verkehr mittlere Wartezeit tw [s/Fz] Vorfahrtgeregelter Knotenpunkt
А	≤ 10
В	≤ 20
С	≤ 30
D	≤ 45
E	> 45
F	Auslastungsgrad > 1

Die zur Bewertung des Verkehrsablaufes herangezogenen Qualitätsstufen entsprechen den Empfehlungen gemäß HBS 2015. Die Qualitätsstufen lassen sich wie folgt charakterisieren.

Tabelle 4: Beschreibung der Qualitätsstufen gemäß HBS 2015

Stufe	Vorfahrtgeregelter Knotenpunkt	Qualität des Verkehrs- ablaufs
Α	Die Mehrzahl der Verkehrsteilnehmer kann den Knotenpunkt nahezu ungehindert passieren. Die Wartezeiten sind sehr gering.	sehr gut
В	Die Abflussmöglichkeiten der wartepflichtigen Verkehrsströme werden vom bevorrechtigten Verkehr beeinflusst. Die dabei entstehenden Wartezeiten sind gering.	gut
С	Die Verkehrsteilnehmer in den Nebenströmen müssen auf eine merkbare Anzahl von bevorrechtigten Verkehrsteilnehmern achten. Die Wartezeiten sind spürbar. Es kommt zur Bildung von Stau, der jedoch weder hinsichtlich seiner räumlichen Ausdehnung noch bezüglich der zeitlichen Dauer eine starke Beeinträchtigung darstellt.	befriedigend
D	Die Mehrzahl der Verkehrsteilnehmer in den Nebenströmen muss Haltevorgänge, verbunden mit deutlichen Zeitverlusten, hinnehmen. Für einzelne Verkehrsteilnehmer können die Wartezeiten hohe Werte annehmen. Auch wenn sich vorübergehend ein merklicher Stau in einem Nebenstrom ergeben hat, bildet sich dieser wieder zurück. Der Verkehrszustand ist noch stabil.	ausreichend
E	Es bilden sich Staus, die sich bei der vorhandenen Belastung nicht mehr abbauen. Die Wartezeiten nehmen sehr große und dabei stark streuende Werte an. Geringfügige Verschlechterungen der Einflussgrößen können zum Verkehrszusammenbruch führen. Die Kapazität wird erreicht.	mangelhaft
F	Die Anzahl der Verkehrsteilnehmer, die in einem Verkehrsstrom dem Knotenpunkt je Zeiteinheit zufließen, ist über eine Stunde größer als die Kapazität für diesen Verkehrsstrom. Es bilden sich lange, ständig wachsende Staus mit besonders hohen Wartezeiten. Diese Situation löst sich erst nach einer deutlichen Abnahme der Verkehrsstärken im zufließenden Verkehr wieder auf. Der Knotenpunkt ist überlastet.	ungenügend



3 Verkehrserhebung

Im Auftrag des Staatlichen Bauamtes Aschaffenburg wurden am Mittwoch dem 01.02.2017 in der Zeit von 15:00 – 19:00 Uhr und am Donnerstag dem 02.02.2017 in der Zeit von 06:00 – 10:00 Uhr an 10 Knotenpunkten und einem Querschnitt Verkehrszählungen durchgeführt. Die Zähldaten wurden für die einzelnen Viertelstundenintervalle, getrennt nach den Fahrzeugarten Pkw, Lkw, Lastzug, Kraftrad und Fahrrad erfasst.

Die folgenden Abbildungen zeigen die Lage der Erhebungsstellen.

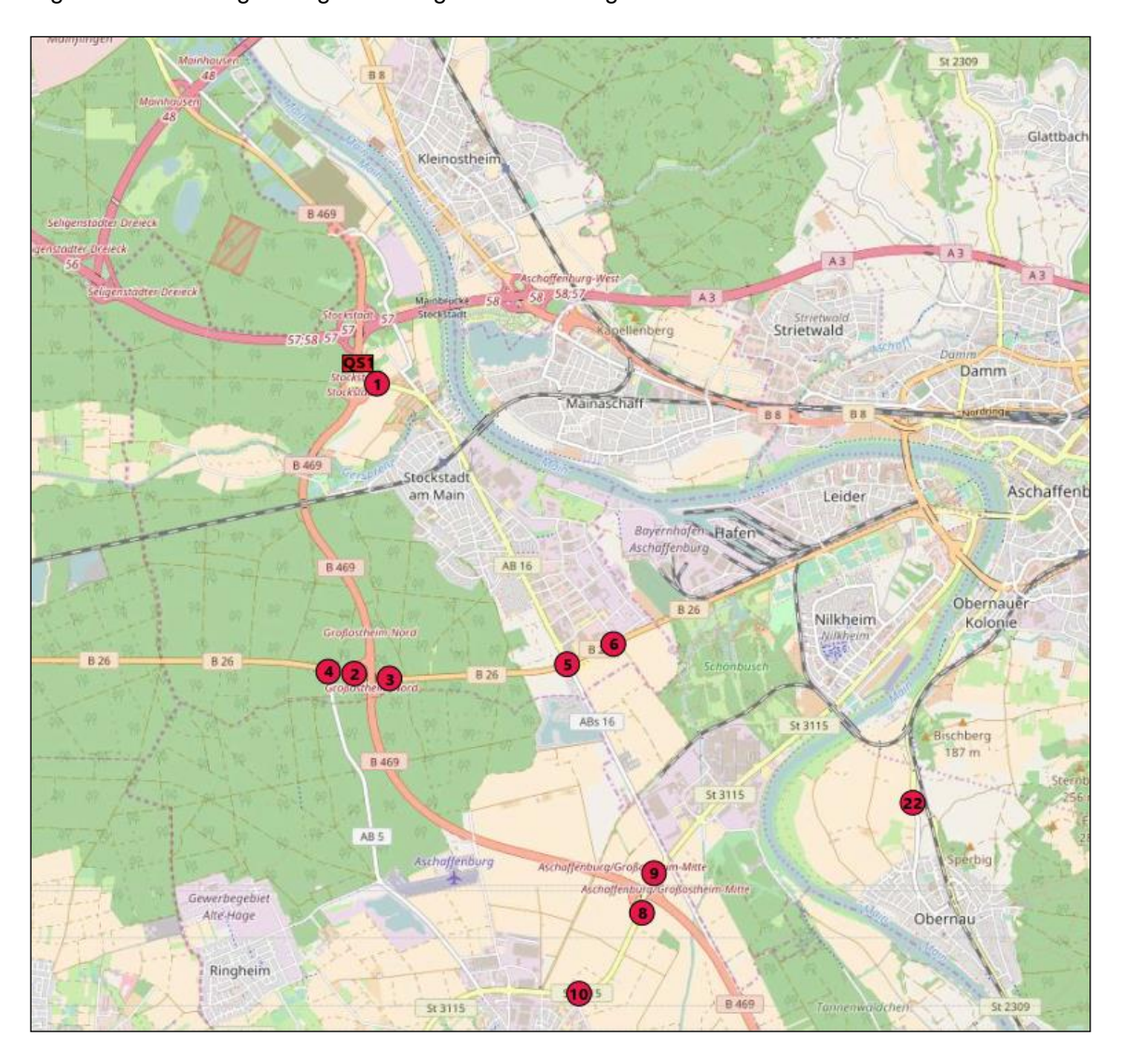


Abbildung 3: Lage der Erhebungsstellen im nördlichen Abschnitt



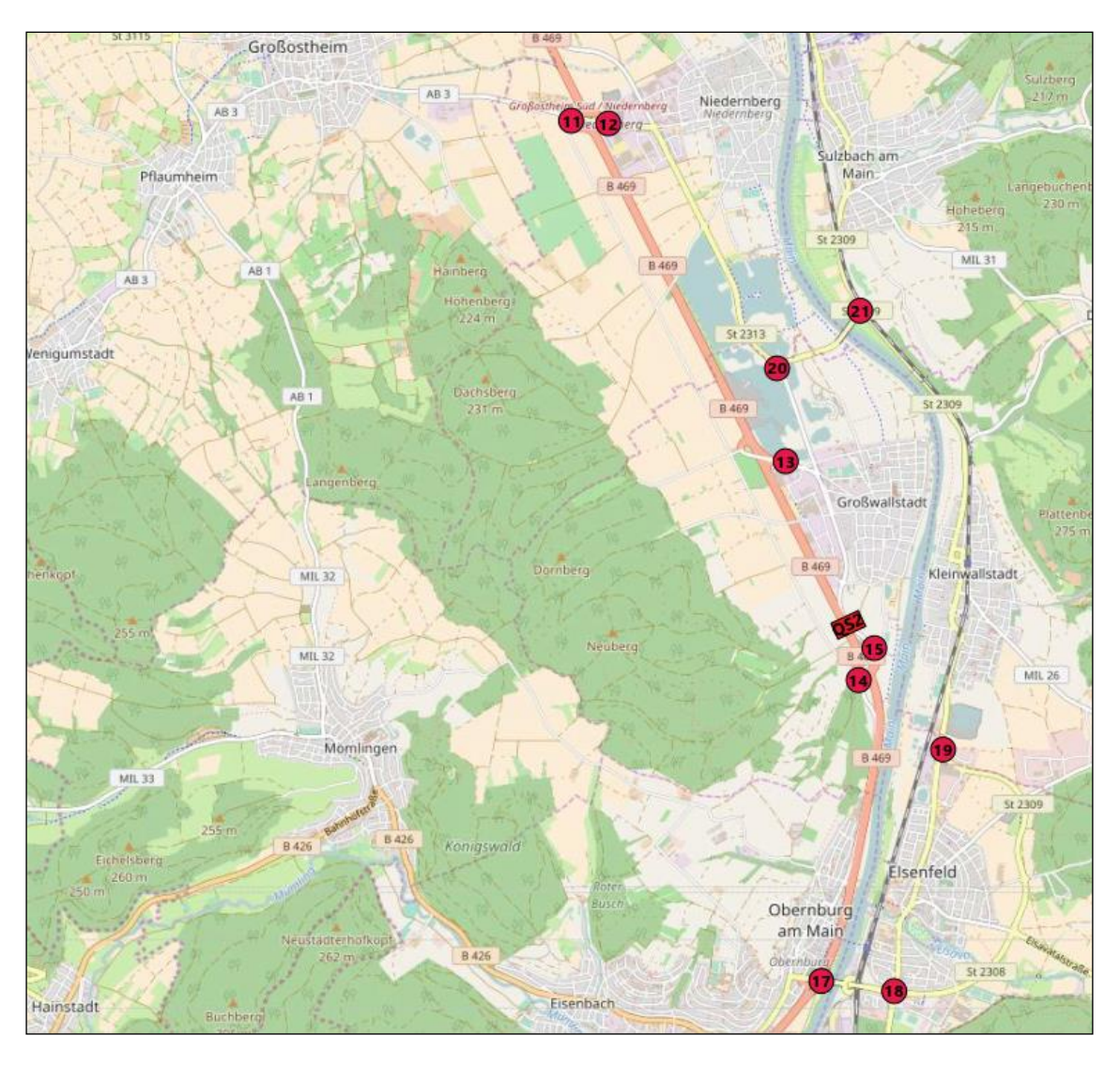


Abbildung 4: Lage der Erhebungsstellen im südlichen Abschnitt

Die Verkehrsbelastungen für die Zählintervalle und die jeweiligen Spitzenstunden sind in den Anlagen 1 bis 4 dargestellt.

Im Zuge der B 469 befinden sich verschiedene Zählstellen der regelmäßig durchgeführten bundesweiten Straßenverkehrszählung (SVZ). Hierfür liegen Zähldaten von 1975 oder 1980 bis 2015 vor. Die folgenden Abbildungen zeigen die Ergebnisse der drei Zählstellen

- 60209211 südlich der BAB A3 und nördlich der AB 16
- 60209206 in Höhe Stockstadt südlich der AB 16 und nördlich der B 26
- und 60209207 südlich der B 26 und nördlich der St3115.

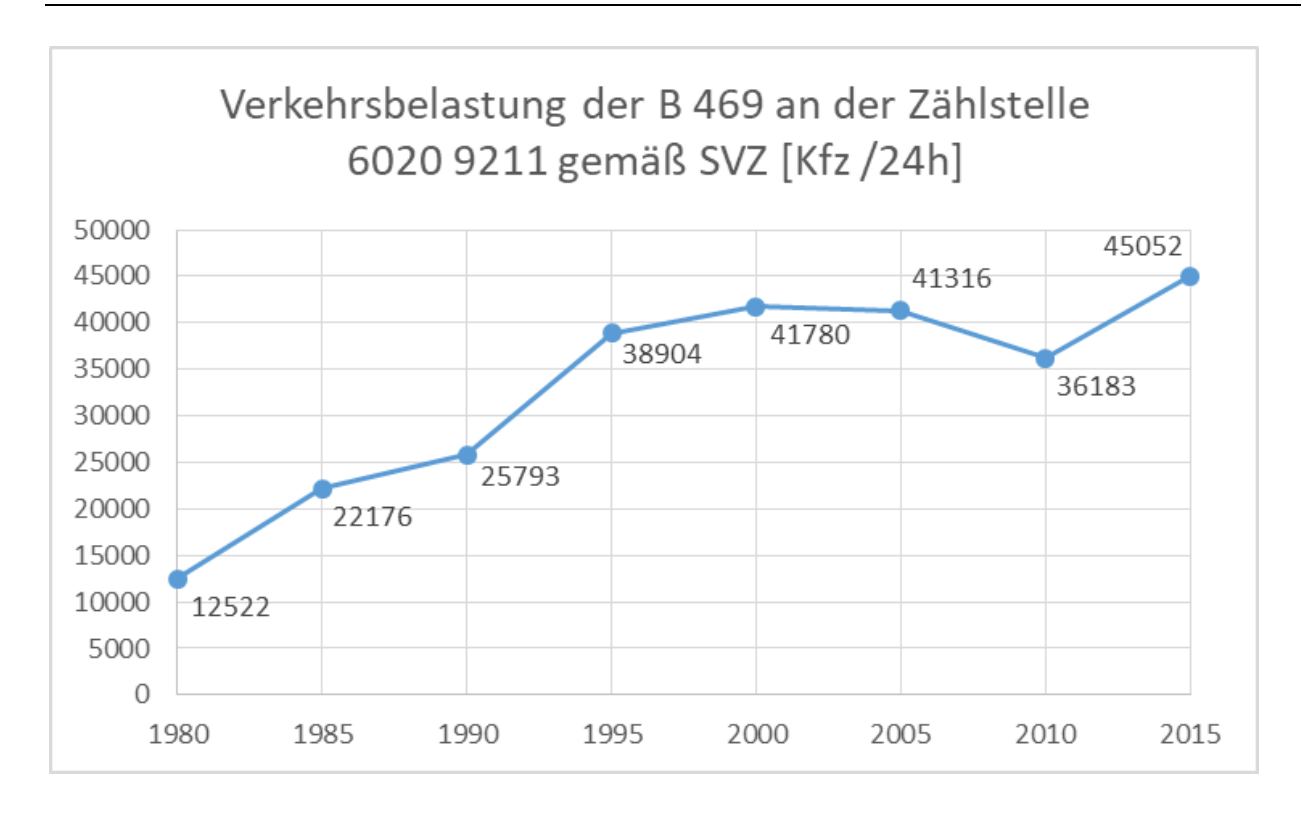


Abbildung 5: Ergebnisse der SVZ an der B 469 südlich der A3 und nördlich der AB 16

Es zeigt sich, dass sich der Verkehr seit 1980 mehr als verdreifacht hat. In den letzten 20 Jahren seit 1995 beträgt der Zuwachs über 15%.

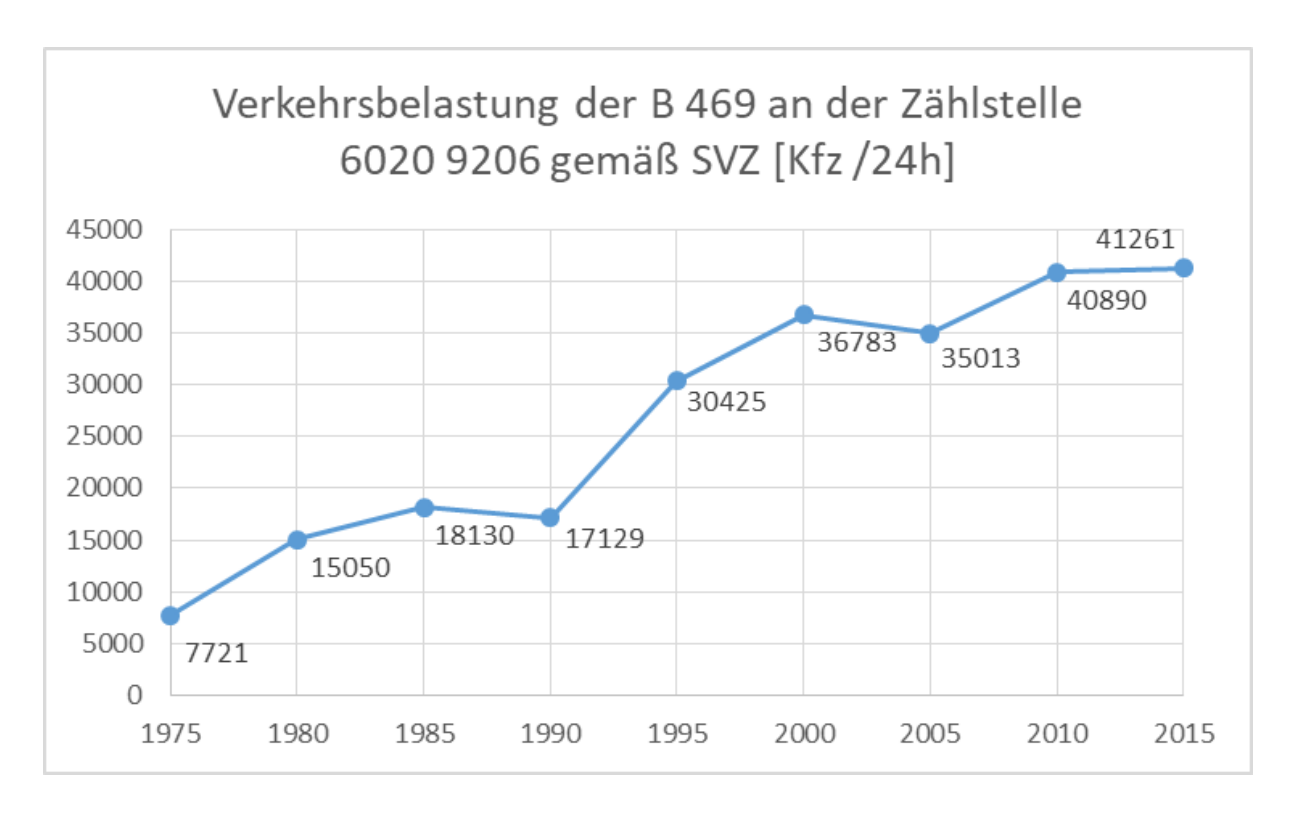


Abbildung 6: Ergebnisse der SVZ an der B 469 südlich der AB 16 und nördlich der B 26



An dieser Zählstelle liegen Daten seit 1975 vor. Seitdem hat sich der Verkehr mehr als verfünffacht. In den letzten 20 Jahren seit 1995 beträgt der Zuwachs über 35%.

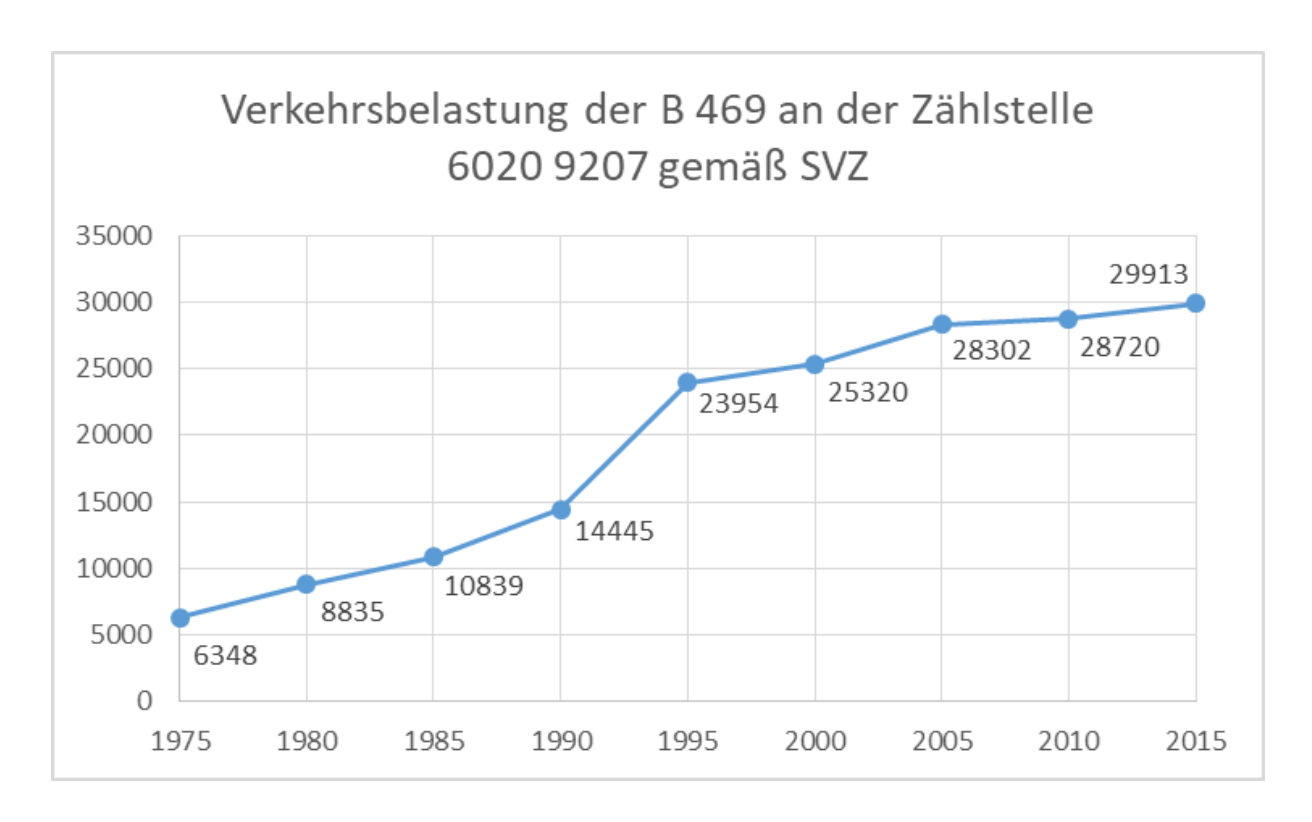


Abbildung 7: Ergebnisse der SVZ an der B 469 südlich der B 26 und nördlich der St 3115

Auch an dieser Zählstelle liegen Daten seit 1975 vor. Bis 2015 betrug der Zuwachs über 470%. In den letzten 20 Jahren seit 1995 ist der Verkehr um annähernd 25% mehr geworden.

4 Ergebnisse des Verkehrsmodells

4.1 Analyse

Die Ergebnisse der Umlegung für die Analyse (DTVw) sind in Abbildung 8 dargestellt.

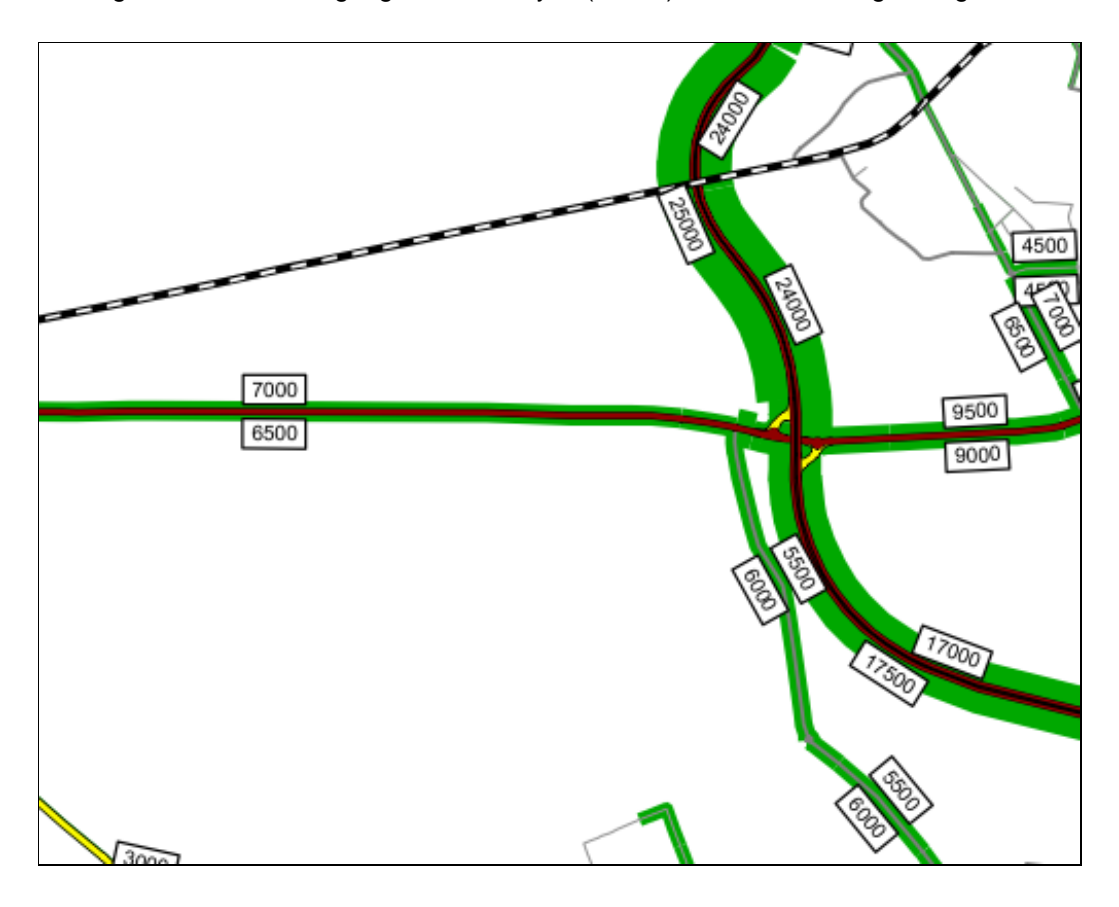


Abbildung 8: Umlegung für die Analyse (Verkehrsbelastungen in Kfz/24h für den DTVw)



4.2 Prognose-Nullfall

Die Ergebnisse der Umlegung für Prognose-Nullfall (2030; DTVw) sind in Abbildung 9 dargestellt. Die B 469 in Höhe Stockstadt am Main ist mit 48.500 Kfz/24 h (DTVw) belastet. Südlich der B 26 liegen die Verkehrsbelastungen der B 469 bei 35.500 Kfz/24 h im DTVw.

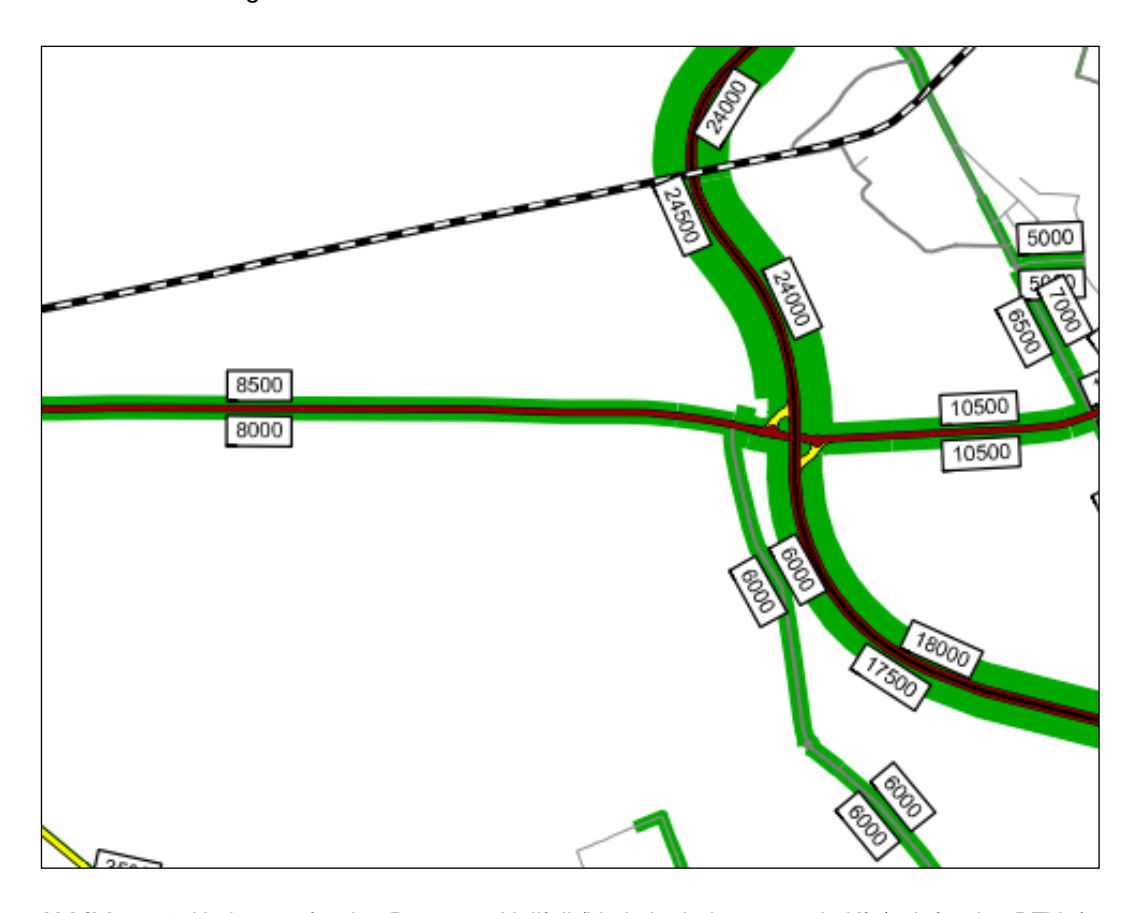


Abbildung 9: Umlegung für den Prognose-Nullfall (Verkehrsbelastungen in Kfz/24h für den DTVw)

Insgesamt zeigt sich eine Zunahme des Verkehres auf der B 469 im Vergleich zum heutigen Zustand. Die folgende Abbildung stellt beispielhaft die Prognose für den Querschnitt der B 469 südlich der A 3 und nördlich der BAB 16 in eine Reihe mit den bisherigen Erhebungen.

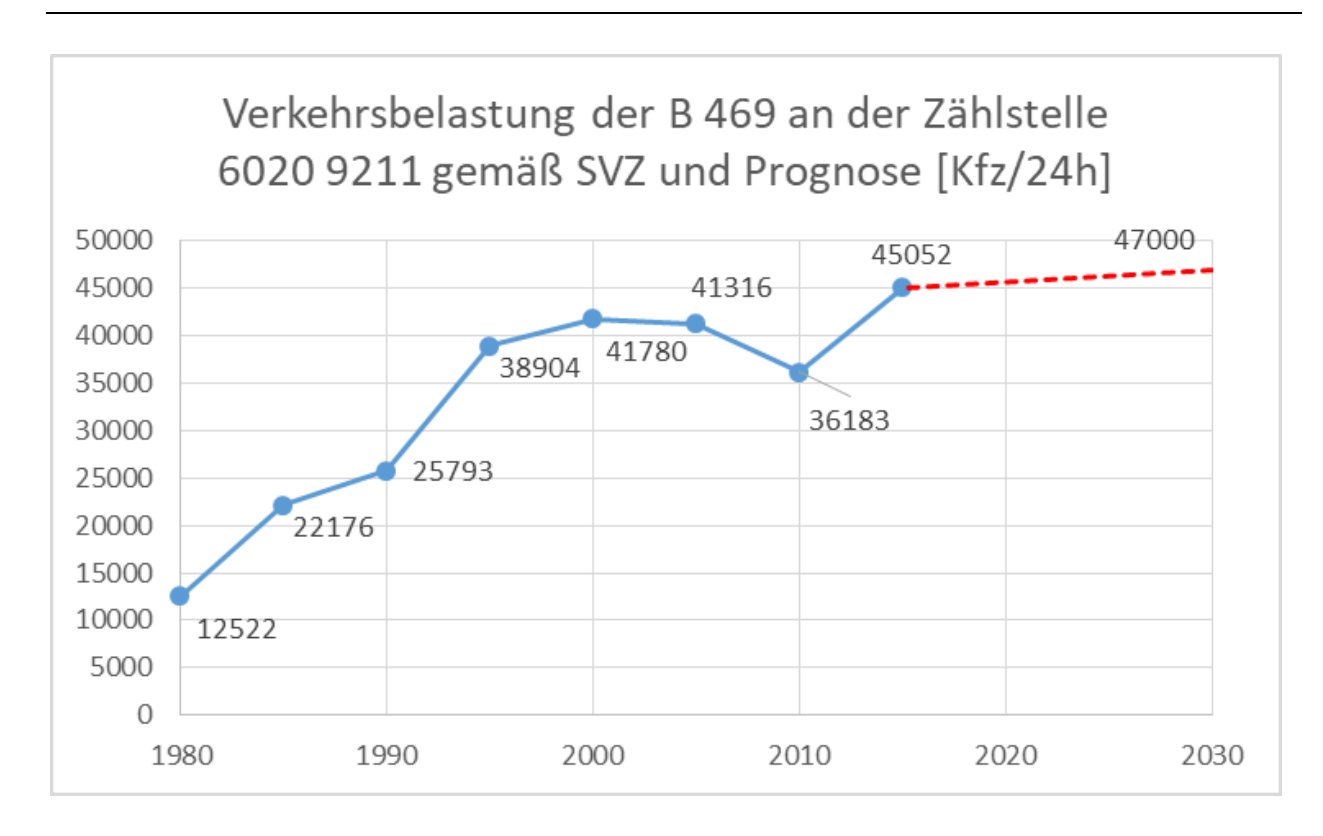


Abbildung 10: Ergebnisse der SVZ an der B 469 südlich der A3 und nördlich der AB 16

Es zeigt sich, dass die Prognose im Trend der Verkehrsentwicklung seit 1995 liegt.

4.3 Prognose-Planfall (mit Ausbau B 469)

In diesem Planfall ist die B 469 4-streifig ausgebaut. Die Ergebnisse der Umlegung für den Prognose-Planfall (2030; DTVw) sind in Abbildung 11 dargestellt. Die Verkehrsbelastung in Höhe Stockstadt am Main liegt bei 52.500 Kfz/24 h (DTVw). Südlich der B 26 liegen die Verkehrsbelastungen der B 469 bei 37.000 Kfz/24 h (DTVw).

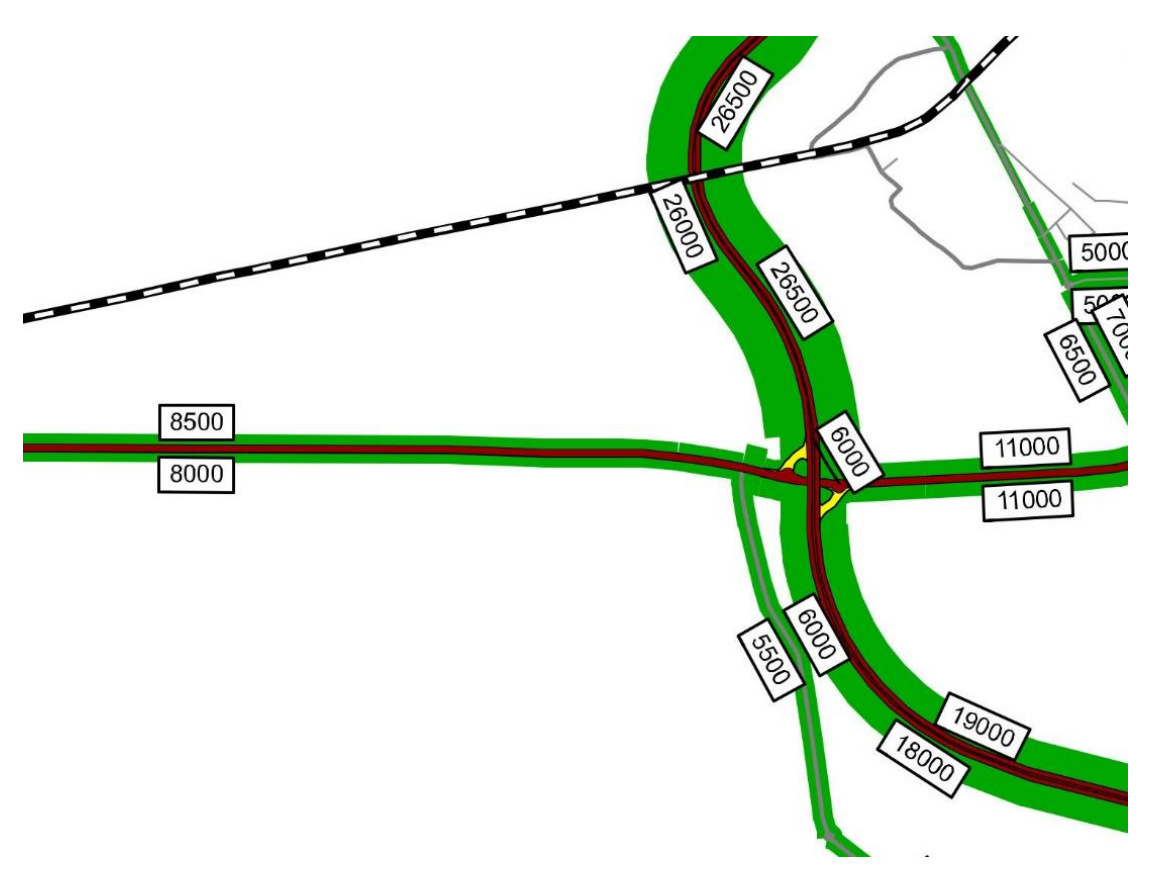


Abbildung 11: Umlegung für den Prognose-Planfall (mit Ausbau der B 469) (Verkehrsbelastungen in Kfz/24h für den DTVw)

Tabelle 1: Vergleich der Verkehrsbelastungen im DTVw [Kfz/24h]

Vergleichsquerschnitt	Prognose-Null-	Prognose-Plan-	Differenz	
	fall	fall fall		[%]
B 469 nördlich der A 3	35.000	35.500	+ 500	+1,4
B 469 südlich der A 3	48.500	52.500	+ 4.000	+8,2
B 469 südlich der B 26	35.500	37.000	+ 1.500	+4,2
B 469 südlich der St 3115	43.500	44.000	+ 500	+1,1



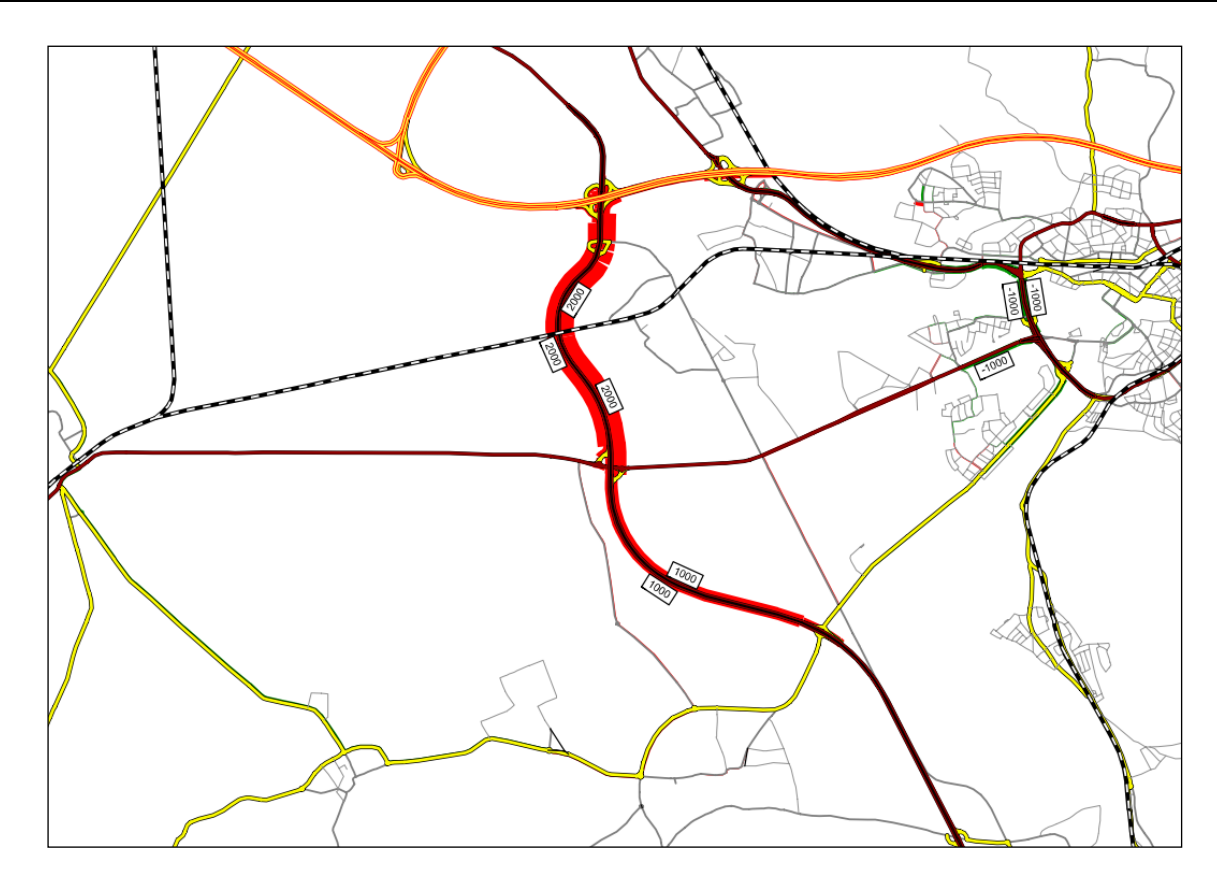


Abbildung 12: Differenz Prognose-Planfall zu Prognose-Nullfall Kfz/24h (DTVw)

Durch den Ausbau der B 469 sind nur geringe Veränderungen der Verkehrsbelastungen zu erwarten. Auch die stärksten Verkehrszunahmen von bis zu 4.000 Kfz/24h im DTVw im Querschnitt südlich der A3 betragen nur etwas über 8% der Belastungen im Prognose-Nullfall.

Die folgende Abbildung stellt die Prognose für die Querschnitte der B 469 nördlich und südlich der B 26 in eine Reihe mit den bisherigen Erhebungen.

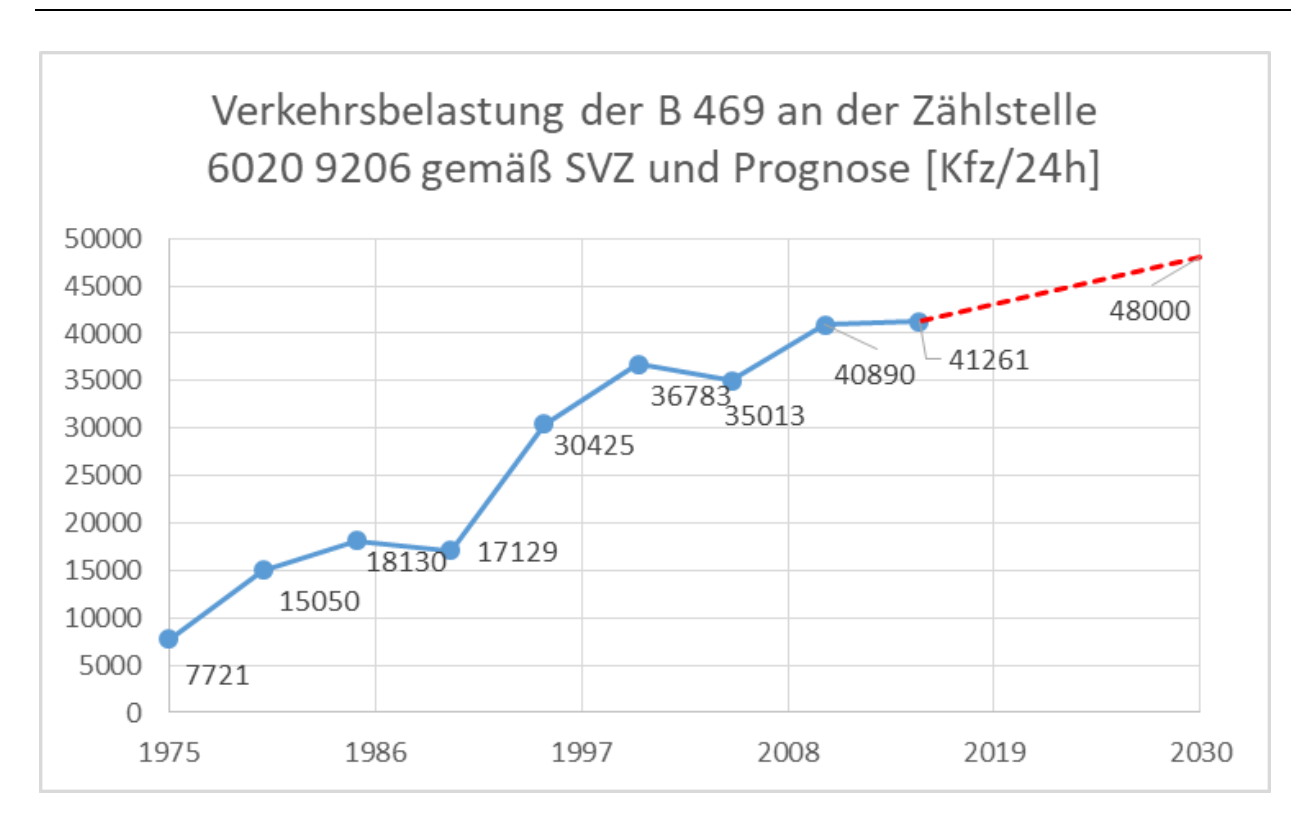


Abbildung 13: Ergebnisse der SVZ an der B 469 nördlich der B 26 sowie Prognose 2030

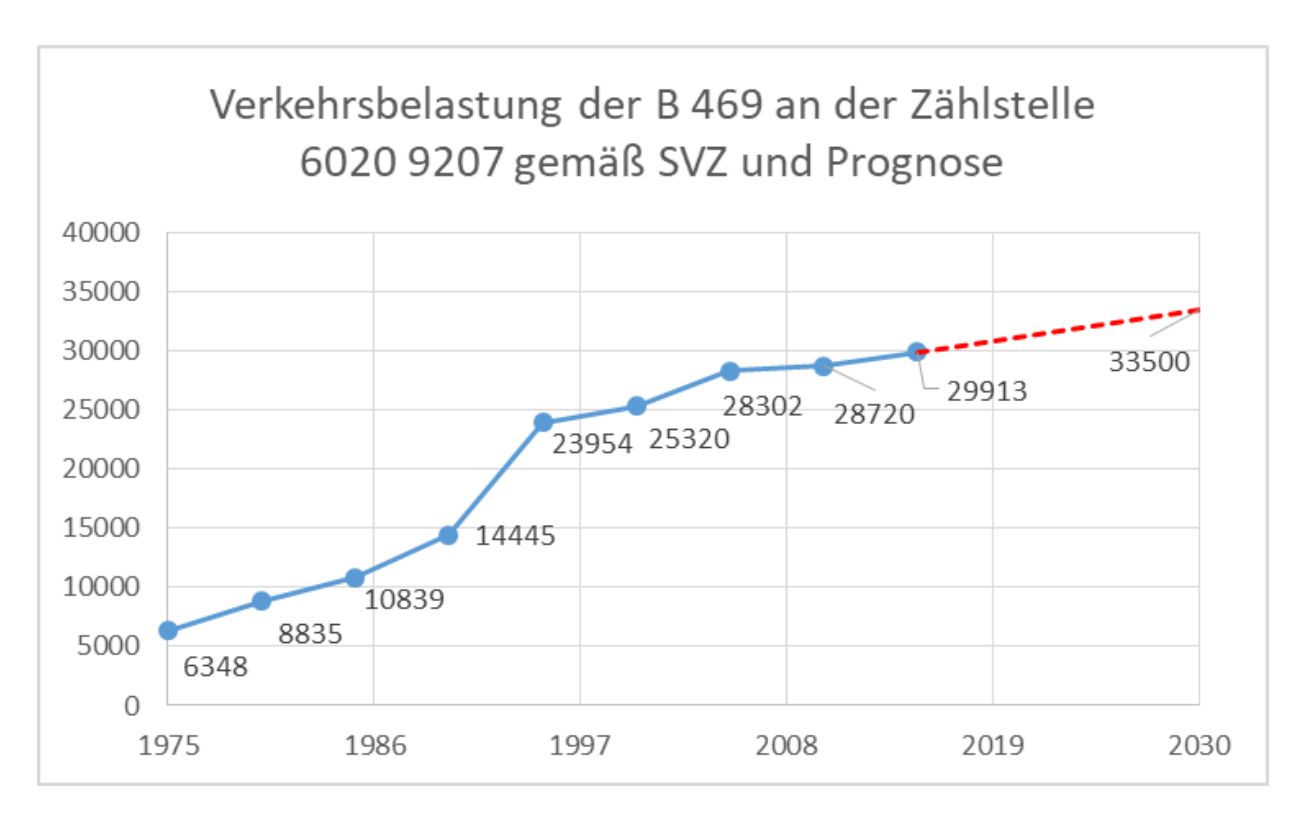


Abbildung 14: Ergebnisse der SVZ an der B 469 südlich der B 26 sowie Prognose 2030

Es zeigt sich, dass die Prognose im Trend der Verkehrsentwicklung seit 1995 liegt.



5 Anschlussstelle B 26 Aschaffenburg

5.1 Vorhandene Situation

Die Anschlussstelle B 26 Aschaffenburg bindet die B 26 an die B 469 an. Sie ist als diagonales halbes Kleeblatt mit Ausfahrt vor dem Bauwerk in der Variante mit Kreisverkehren nach Bild 45 der RAA ausgeführt. Die folgende Abbildung zeigt eine Luftbildaufnahme im Bestand.



Abbildung 15: AS B 26 Aschaffenburg

Der westliche Kreisverkehr verfügt über 2 Bypässe, einmal von Nord nach West und einmal von West nach Ost. Auch der östliche Kreisverkehr ist mit zwei Bypässen ausgestattet. Dabei führt der eine von Westen nach Süden auf die Rampe zur B 469 in Fahrtrichtung Nord. Der zweite Bypass verläuft von Süd nach Ost.



Die Ausfahrten an der B 469 sind in beiden Fahrtrichtungen im Typ A 1-2 und die beiden Einfahrten im Typ E 1-2 ausgeführt.

5.2 Verkehrstechnische Berechnung für die Knotenpunkte mit der B 26 im Planfall

Die verkehrstechnischen Berechnungen im Planfall zeigen für den westlichen Kreisverkehr, dass sowohl in der Morgen- wie in der Nachmittagsspitzenstunde eine gute Verkehrsqualität (QSV B) erreicht werden kann. Die entsprechenden Berechnungen sind in den Anlagen A-1 bis A-4 dokumentiert.

Am östlichen Kreisverkehr kann der prognostizierte Verkehr am Kreisverkehr im heutigen Ausbaustand weder in der Morgen- noch in der Abendspitzenstunde abgewickelt werden. Die Kapazität ist überschritten. Die entsprechenden Berechnungen sind in den Anlagen A-51 bis A-8 dokumentiert.

Die Überlastung tritt dabei in der östlichen und in der westlichen Zufahrt auf. Um an beiden Zufahrten eine Entlastung zu schaffen, bietet es sich an, den Verkehrsstrom von Osten nach Norden heraus zu nehmen. Diesem Zweck dient die Direktrampe von der B 26 zur B 469. Die nachfolgende Abbildung zeigt eine entsprechende Skizze.

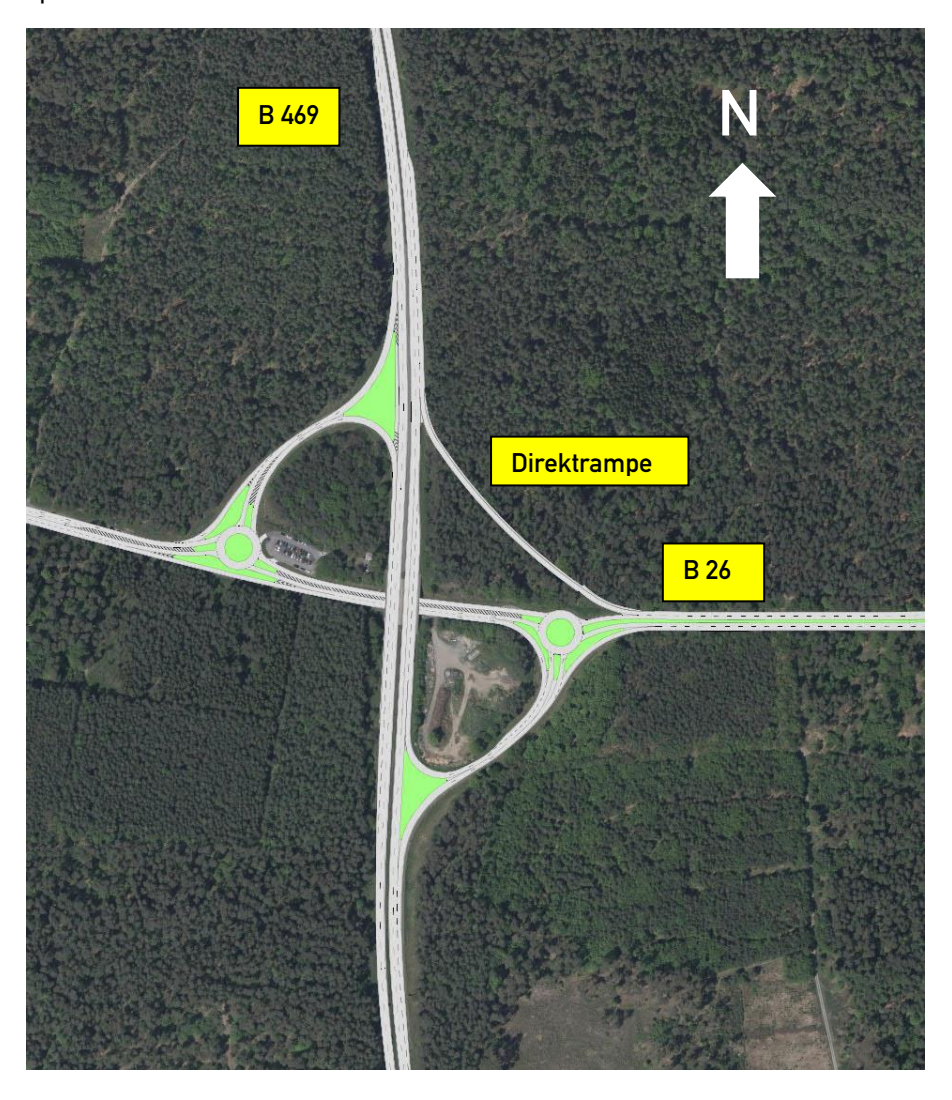


Abbildung 16: AS B 26 Aschaffenburg mit Direktrampe

Die verkehrstechnischen Berechnungen zeigen, dass durch die Direktrampe am Kreisverkehr sowohl in der Morgen- wie in der Abendspitzenstunde eine gute Verkehrsqualität (QSV B) erreicht werden kann. Die entsprechenden Berechnungen sind in den Anlagen A-9 bis A-12 dokumentiert.

Die folgende Tabelle zeigt die Berechnungsergebnisse im Überblick.

Tabelle 5: Verkehrsqualität in der maßgebenden Spitzenstunde

Knotenpunkt	Prognosefall	Prognosefall	
	Morgenspitze	Abendspitze	
	Verkehrsqualität (QSV)	Verkehrsqualität (QSV)	
Westlicher Kreisverkehr	В	В	
Östlicher Kreisverkehr ohne Direktrampe	F	F	
Östlicher Kreisverkehr mit Direktrampe	В	В	

5.3 Verkehrstechnische Berechnung für die B 469

Durch die Anlage der Direktrampe wird eine zusätzliche Einfahrt in Fahrtrichtung Nord hergestellt. Daraus ergibt sich hier insgesamt eine Doppeleinfahrt vom Typ EE 1 nach RAA. Diese wird gemäß HBS 2015 für die Berechnung in zwei aufeinander folgende Einfahrten vom Typ E 1-2 aufgelöst.

Die Berechnungen ergeben für die Bemessungsverkehrsstärke, dass die Hauptfahrbahnen, die Ein- und Ausfahrten und die Rampen der AS B 26 Aschaffenburg mit einer mindestens ausreichenden Verkehrsqualität (QSV D) betrieben werden können. Die entsprechenden Berechnungen sind in den Anlagen B-1 bis B-5 dokumentiert. Die folgende Tabelle zeigt die Ergebnisse im Überblick.

Tabelle 6: Verkehrsqualität (QSV) in der maßgebenden Spitzenstunde

Teilknotenpunkt		Prognosefall
		Verkehrsqualität (QSV)
1 Ausfahrt FR Obernburg (Typ A 1-	2)	С
2 Einfahrt FR Obernburg (Typ E 1-2)		С
3 Ausfahrt FR BAB 3 (Typ A 1-2)		С
	a erste Einfahrt	С
4 Einfahrt FR BAB 3 (Typ EE 1)	b zweite Einfahrt	D



6 Prognosehorizont 2035

Das großräumige Verkehrsmodell "Bayerischer Untermain" des Staatlichen Bauamtes Aschaffenburg hat in Übereinstimmung mit der Bundesverkehrswegeplanung das Jahr 2030 als Prognosehorizont. Weitergehende Detailprognosen liegen derzeit nicht vor.

Allerdings gibt es bundesweite Globalprognosen, die Aussagen über die Gesamtverkehrsmengen machen. Dazu gehört die Shell-Prognose "Shell-Pkw-Szenarien bis 2040", die für das Jahr 2035 von geringeren Verkehrsmengen als im Jahr 2030 ausgeht.

Für eine regionale Erweiterung des Prognosehorizontes von 2030 auf das Jahr 2035 liegt als Grundlage nur die regionalisierte Bevölkerungsvorausberechnung für Bayern bis 2035 (Bayerisches Landesamt für Statistik und Datenverarbeitung, Dezember 2016) vor.

Das Bayerische Landesamt für Statistik gibt für die Bevölkerungsvorausberechnung der Stadt Aschaffenburg und die angrenzenden Landkreise Aschaffenburg und Miltenberg die folgenden Daten an:

Tabelle 7: Bevölkerungsprognosen für 2030 und 2035

Gebiet	Jahr	Einwohner	Differenz	
Ctodt Application burg	2030	69.500	0.70.0/	
Stadt Aschaffenburg	2035	69.000	-0,72 %	
Landkreis Aschaffen-	2030 172.000	172.000		
burg	2035	170.300	-0,99 %	
	2030	125.200		
Landkreis Miltenberg	2035	123.600	-1,28%	

Die statistische Auswertung der Bevölkerungsentwicklung zeigt für den Bayerischen Untermain eine stagnierende bis eher rückläufige Entwicklung mit einer Bevölkerungsabnahme zwischen 2030 und 2035 um etwa 1%. Es gibt daher bislang kein Anzeichen für eine weitere Verkehrszunahme, was im Übrigen auch bundesweite Verkehrsmengenprognosen wie die Shell-Prognose "Shell-Pkw-Szenarien bis 2040" bestätigen. Daher wurden den Berechnungen zur Leistungsfähigkeit der Verkehrsanlagen die Verkehrsdaten für das Prognosejahr 2030 zugrunde gelegt.



7 Lärmtechnische Kennwerte

Anhand der Entwicklungen bzw. der Netzänderungen ergaben sich die folgenden lärmtechnischen Kennwerte für das Jahr 2030 und 2035. Die Schwerverkehrszahlen beziehen sich dabei, wie bei den SVZ-Werten üblich, auf Fahrzeuge über 3,5t.

Die Lage der Vergleichsquerschnitte ist in der folgenden Abbildung dargestellt.

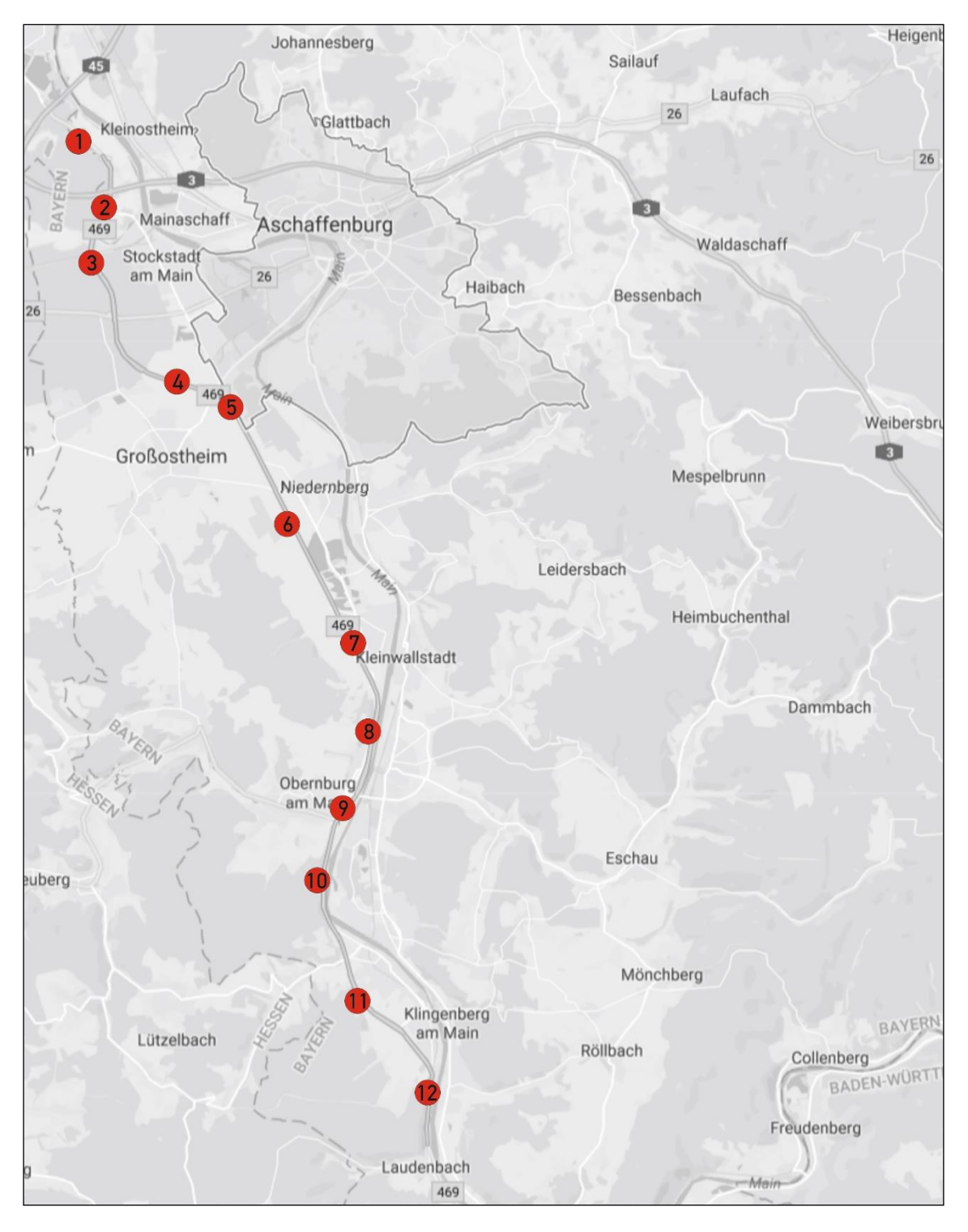


Abbildung 17: Vergleichsquerschnitte



Tabelle 7: Prognose 2030 (mit Ausbau der B 26, ohne Ausbau der B 469) DTV, Kennwerte für lärm- und schadstofftechnische Berechnungen

Num-	Prognose 2	2030 DTV	Mt	Mn	pt	pn
mer	[Kfz/24h]	[SV/24h]	[Kfz/h]	[Kfz/h]	[%]	[%]
1	31.000	4.600	1.785	303	14,2	23,1
2	47.000	6.600	2.704	461	13,4	22,1
3	44.000	6.300	2.532	430	13,7	22,3
4	32.000	3.800	1.838	313	11,5	17,6
5	38.000	4.300	2.184	371	10,9	16,7
6	39.000	3.700	2.241	381	9,3	12,9
7	38.500	3.800	2.215	376	9,6	13,8
8	31.500	3.300	1.809	308	10,2	14,3
9	37.500	3.500	2.157	367	9,1	12,5
10	29.000	3.100	1.665	283	10,4	14,8
11	27.500	2.800	1.581	269	9,9	14,5
12	29.000	3.100	1.665	283	10,4	15,2

Tabelle 8: Prognose 2030 (mit Ausbau der B 26, mit Ausbau der B 469) DTV, Kennwerte für lärm- und schadstofftechnische Berechnungen

Num-	Prognose 2	2030 DTV	Mt	Mn	pt	pn
mer	[Kfz/24h]	[SV/24h]	[Kfz/h]	[Kfz/h]	[%]	[%]
1	31.500	4.600	1.814	308	14	22,8
2	50.500	6.800	2.906	495	12,9	21,2
3	48.000	6.600	2.763	470	13,2	21,4
4	33.500	3.900	1.924	327	11,3	17,3
5	38.500	4.300	2.213	376	10,8	16,5
6	39.000	3.700	2.241	381	9,3	12,9
7	38.500	3.800	2.215	376	9,6	13,8
8	31.500	3.300	1.809	308	10,2	14,3
9	38.000	3.500	2.186	372	9	12,3
10	29.000	3.100	1.665	283	10,4	14,8
11	27.500	2.800	1.581	269	9,9	14,5
12	29.000	3.100	1.665	283	10,4	15,2



Tabelle 9: Prognose 2035 (mit Ausbau der B 26, ohne Ausbau der B 469) DTV, Kennwerte für lärm- und schadstofftechnische Berechnungen

Num-	Prognose 2	035 DTV	Mt	Mn	pt	pn
mer	[Kfz/24h]	[SV/24h]	[Kfz/h]	[Kfz/h]	[%]	[%]
1	31.000	4.500	1.785	303	13,9	22,6
2	46.500	6.500	2.676	456	13,4	22
3	43.500	6.200	2.504	426	13,6	22,2
4	31.500	3.800	1.809	308	11,7	17,9
5	37.500	4.200	2.155	366	10,8	16,6
6	38.500	3.600	2.212	376	9,1	12,7
7	38.000	3.700	2.186	372	9,5	13,6
8	31.000	3.300	1.781	303	10,4	14,5
9	37.000	3.400	2.128	362	9	12,3
10	28.500	3.100	1.636	278	10,6	15
11	27.500	2.700	1.581	269	9,5	14
12	29.000 3.000		1.665	283	10,1	14,7

Tabelle 10: Prognose 2035 (mit Ausbau der B 26, mit Ausbau der B 469) DTV, Kennwerte für lärm- und schadstofftechnische Berechnungen

Num-	Prognose 2	2035 DTV	Mt	Mn	pt	pn
mer	[Kfz/24h]	[SV/24h]	[Kfz/h]	[Kfz/h]	[%]	[%]
1	31.000	4.600	1.785	303	14,2	23,1
2	50.000	6.700	2.877	490	12,8	21,1
3	47.500	6.500	2.734	465	13,1	21,3
4	33.000	3.900	1.895	322	11,4	17,5
5	38.000	4.300	2.184	371	10,9	16,7
6	39.000	3.700	2.241	381	9,3	12,9
7	38.000	3.800	2.186	372	9,7	13,9
8	31.000	3.300	1.781	303	10,4	14,5
9	37.500	3.500	2.157	367	9,1	12,5
10	29.000	3.100	1.665	283	10,4	14,8
11	27.500	2.800	1.581	269	9,9	14,5
12	29.000	3.000	1.665	283	10,1	14,7

Brilon Bondzio Weiser - Ingenieurgesellschaft für Verkehrswesen mbH Universitätsstraße 142 44799 Bochum, Juni 2019



Literaturverzeichnis

Forschungsgesellschaft für Straßen- und Verkehrswesen (Hrsg.):

Handbuch für die Bemessung von Straßenverkehrsanlagen (HBS), Fassung 2015. Köln 2015

Forschungsgesellschaft für Straßen- und Verkehrswesen (Hrsg.):

Richtlinien für die Anlage von Autobahnen (RAA), Ausgabe 2008. Köln 2008

Anlagen

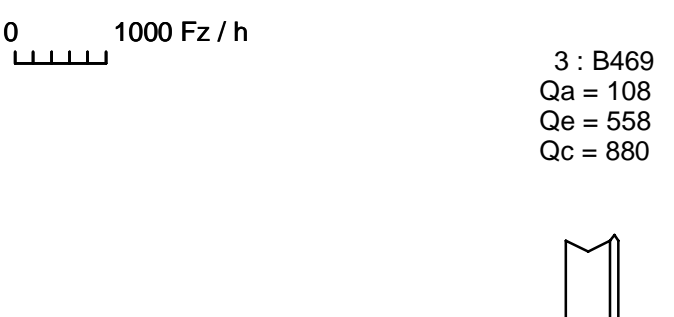
Verkehrsfluss - Diagramm als Kreis

KX8V2C~S.KRS Datei:

B26 / Westanbindung Aschaffenburg Projekt:

1516

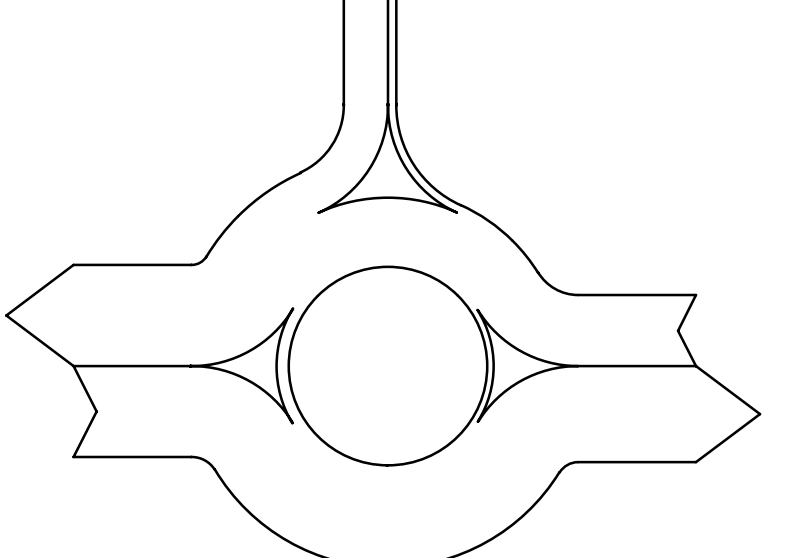
Projekt-Nummer: Knoten: B26 / B469 West Stunde: Morgenspitze Planfall



1: B26 West Qa = 1285

Qe = 1154

Qc = 153



Sum = 2614

2 : B26 Ost

Qa = 1221Qe = 902

Qc = 86

alle Kraftfahrzeuge

Kapazität, mittlere Wartezeit und Staulängen - nur Fz.-Verkehr

Datei: KP2 Planfall MS.krs

Projekt: B26 / Westanbindung Aschaffenburg

Projekt-Nummer: 1516

Knoten: B26 / B469 West Stunde: Morgenspitze Planfall

Wartezeiten

		n-in	n-K	q-Kreis	q-e-vorh	q-e-max	Х	Reserve	Wz	QSV
	Name	-	-	Pkw-E/h	Pkw-E/h	Pkw-E/h	-	Pkw-E/h	S	-
1	B26 West	1	1	173	89	1092	0,08	1003	3,7	Α
1	Bypass	1			1121	1400	0,80	279	13,1	В
2	B26 Ost	1	1	89	940	1165	0,81	225	16,2	В
3	B469	1	1	911	173	521	0,33	348	11,7	В
3	Bypass	1			437	1400	0,31	963	4,2	Α

Staulängen

		n-in	n-K	q-Kreis	q-e-vorh	q-e-max	L	L-95	L-99	QSV
	Name	-	-	Pkw-E/h	Pkw-E/h	Pkw-E/h	Fz	Fz	Fz	-
1	B26 West	1	1	173	89	1092	0,1	0	0	Α
1	Bypass	1			1121	1400	-	-	-	В
2	B26 Ost	1	1	89	940	1165	2,8	11	17	В
3	B469	1	1	911	173	521	0,3	1	2	В
3	Bypass	1			437	1400	-	-	-	Α

Gesamt-Qualitätsstufe: B

Gesamter Verkehr Werkehr im Kreis ohne Bypass

Zufluss über alle Zufahrten : 2760 1202 Pkw-E/h davon Kraftfahrzeuge : 2614 1141 Fz/h

Summe aller Wartezeiten : 11,4 4,5 Fz-h/h Mittl. Wartezeit über alle Fz : 15,7 14,3 s pro Fz

Berechnungsverfahren:

Kapazität : Deutschland: HBS 2015 Kapitel L5

Wartezeit : HBS 2015 + HBS 2009 = Akcelik, Troutbeck (1991) mit T = 3600

Staulängen : Wu, 1997

LOS - Einstufung : HBS (Deutschland)

Verkehrsfluss - Diagramm als Kreis

Datei: KP2 Planfall AS.krs

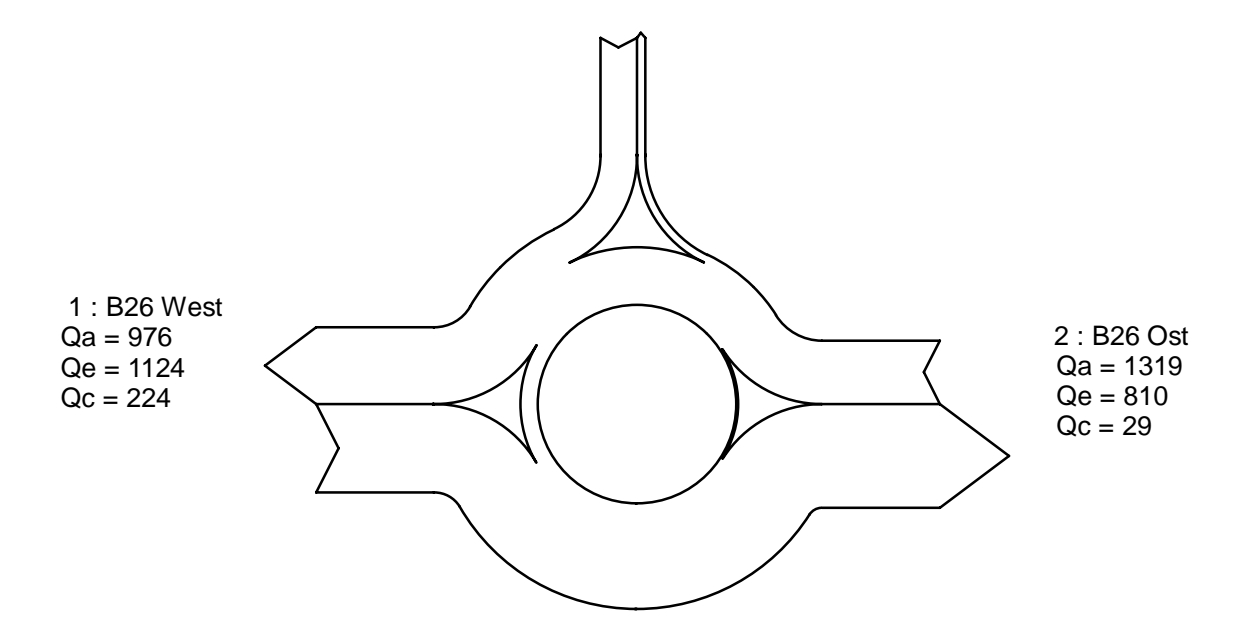
Projekt: B26 / Westanbindung Aschaffenburg

Projekt-Nummer: 1516

Knoten: B26 / B469 West Stunde: Abendspitze Planfall

0 1000 Fz / h

3 : B469 Qa = 105 Qe = 466 Qc = 734



Sum = 2400

alle Kraftfahrzeuge

Kapazität, mittlere Wartezeit und Staulängen - nur Fz.-Verkehr

Datei: KP2 Planfall AS.krs

Projekt: B26 / Westanbindung Aschaffenburg

Projekt-Nummer: 1516

Knoten: B26 / B469 West Stunde: Abendspitze Planfall

Wartezeiten

		n-in	n-K	q-Kreis	q-e-vorh	q-e-max	Х	Reserve	Wz	QSV
	Name	-	-	Pkw-E/h	Pkw-E/h	Pkw-E/h	-	Pkw-E/h	S	-
1	B26 West	1	1	251	34	1026	0,03	992	4,3	Α
1	Bypass	1			1139	1400	0,81	261	15,7	В
2	B26 Ost	1	1	34	835	1214	0,69	379	9,7	Α
3	B469	1	1	756	251	630	0,40	379	10,6	В
3	Bypass	1			252	1400	0,18	1148	3,5	Α

Staulängen

		n-in	n-K	q-Kreis	q-e-vorh	q-e-max	L	L-95	L-99	QSV
	Name	-	-	Pkw-E/h	Pkw-E/h	Pkw-E/h	Fz	Fz	Fz	-
1	B26 West	1	1	251	34	1026	0,0	0	0	Α
1	Bypass	1			1139	1400	-	-	-	В
2	B26 Ost	1	1	34	835	1214	1,5	6	10	Α
3	B469	1	1	756	251	630	0,5	2	3	В
3	Bypass	1			252	1400	-	-	-	Α

Gesamt-Qualitätsstufe: B

Gesamter Verkehr Werkehr im Kreis ohne Bypass

Zufluss über alle Zufahrten : 2511 1120 Pkw-E/h davon Kraftfahrzeuge : 2400 1063 Fz/h

Summe aller Wartezeiten : 9,9 2,7 Fz-h/h Mittl. Wartezeit über alle Fz : 14,8 9,1 s pro Fz

Berechnungsverfahren:

Kapazität : Deutschland: HBS 2015 Kapitel L5

Wartezeit : HBS 2015 + HBS 2009 = Akcelik, Troutbeck (1991) mit T = 3600

Staulängen : Wu, 1997

LOS - Einstufung : HBS (Deutschland)

Verkehrsfluss - Diagramm als Kreis

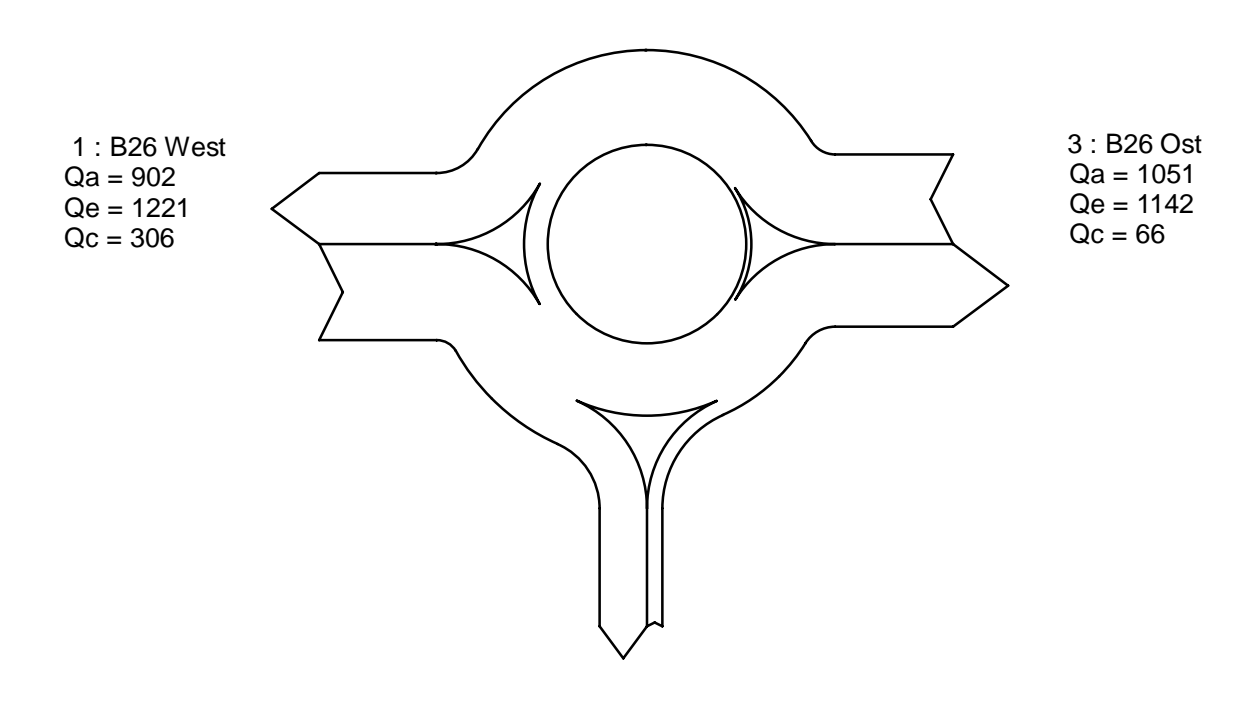
KP3 Planfall MS.krs Datei:

B26 / Westanbindung Aschaffenburg Projekt:

1516

Projekt-Nummer: Knoten: B26 / B469 Ost Stunde: Morgenspitze Planfall

1000 Fz / h



2: B469 Qa = 605Qe = 195Qc = 922

Sum = 2558

alle Kraftfahrzeuge

BRILON BONDZIO WEISER ING.-GES. FÜR VERKEHRSWESEN

44799 BOCHUM

Kapazität, mittlere Wartezeit und Staulängen - nur Fz.-Verkehr

Datei: KP3 Planfall MS.krs

Projekt: B26 / Westanbindung Aschaffenburg

Projekt-Nummer: 1516

Knoten: B26 / B469 Ost Stunde: Morgenspitze Planfall

Wartezeiten

		n-in	n-K	q-Kreis	q-e-vorh	q-e-max	Х	Reserve	Wz	QSV
	Name	-	-	Pkw-E/h	Pkw-E/h	Pkw-E/h	-	Pkw-E/h	S	-
1	B26 West	1	1	391	954	910	1,05	-44	145,7	F
1	Bypass	1			340	1400	0,24	1060	3,5	Α
2	B469	1	1	954	67	491	0,14	424	8,6	Α
2	Bypass	1			140	1400	0,10	1260	2,9	Α
3	B26 Ost	1	1	67	1264	1185	1,07	-79	163,6	F

Staulängen

		n-in	n-K	q-Kreis	q-e-vorh	q-e-max	L	L-95	L-99	QSV
	Name	-	-	Pkw-E/h	Pkw-E/h	Pkw-E/h	Fz	Fz	Fz	-
1	B26 West	1	1	391	954	910	31,4	49	58	F
1	Bypass	1			340	1400	-	-	-	Α
2	B469	1	1	954	67	491	0,1	0	1	Α
2	Bypass	1			140	1400	-	-	-	Α
3	B26 Ost	1	1	67	1264	1185	44,6	63	72	F

Gesamt-Qualitätsstufe: F

Es wurde so gerechnet, als würden - trotz Überlastung - die vorgebenen Verkehre in den Kreis gelangen.

Gesamter Verkehr Werkehr im Kreis ohne Bypass

Zufluss über alle Zufahrten: 27652285Pkw-E/hdavon Kraftfahrzeuge: 25582130Fz/h

Summe aller Wartezeiten : 102,2 51,4 Fz-h/h Mittl. Wartezeit über alle Fz : 143,8 86,8 s pro Fz

Berechnungsverfahren:

Kapazität : Deutschland: HBS 2015 Kapitel L5

Wartezeit : HBS 2015 + HBS 2009 = Akcelik, Troutbeck (1991) mit T = 3600

Staulängen : Wu, 1997

LOS - Einstufung : HBS (Deutschland)

Verkehrsfluss - Diagramm als Kreis

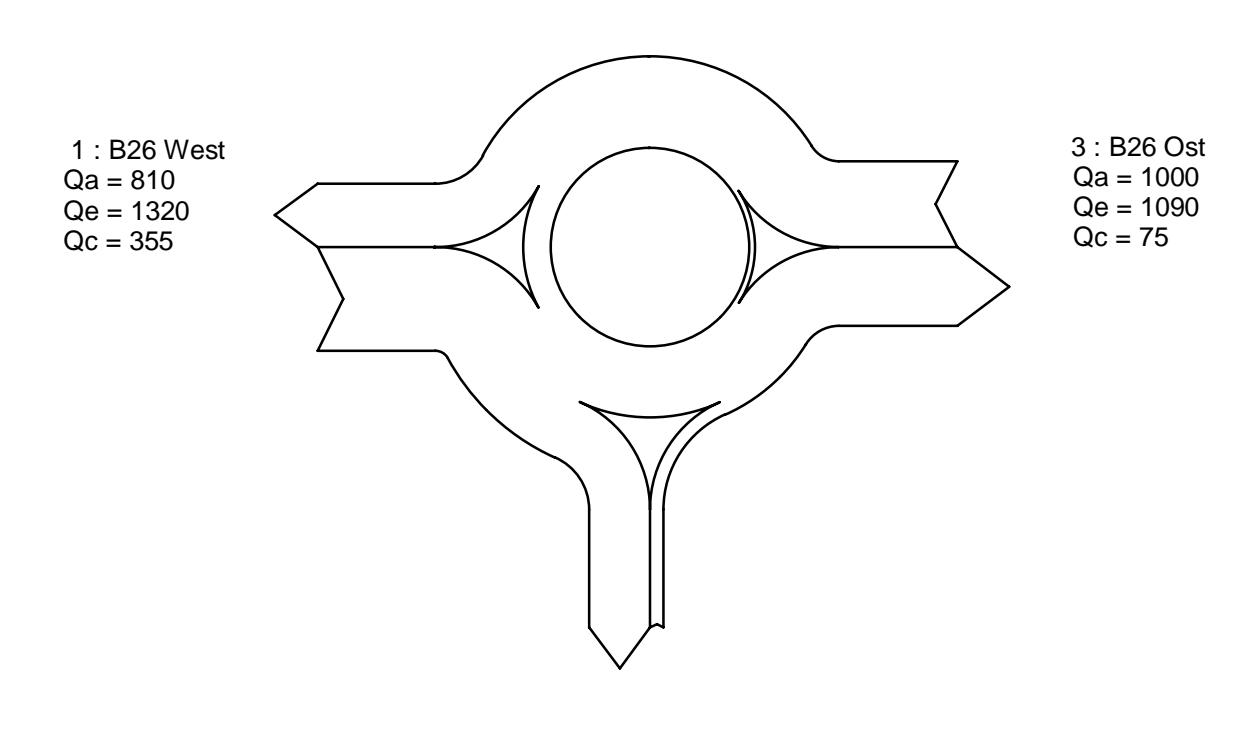
KP3 Planfall AS.krs Datei:

B26 / Westanbindung Aschaffenburg Projekt:

1516

Projekt-Nummer: Knoten: B26 / B469 Ost Stunde: Abendspitze Planfall

1000 Fz / h



2: B469 Qa = 773Qe = 173Qc = 902

Sum = 2583

alle Kraftfahrzeuge

BRILON BONDZIO WEISER ING.-GES. FÜR VERKEHRSWESEN

44799 BOCHUM

Kapazität, mittlere Wartezeit und Staulängen - nur Fz.-Verkehr

Datei: KP3 Planfall AS.krs

Projekt: B26 / Westanbindung Aschaffenburg

Projekt-Nummer: 1516

Knoten: B26 / B469 Ost Stunde: Abendspitze Planfall

Wartezeiten

		n-in	n-K	q-Kreis	q-e-vorh	q-e-max	Х	Reserve	Wz	QSV
	Name	-	-	Pkw-E/h	Pkw-E/h	Pkw-E/h	-	Pkw-E/h	S	-
1	B26 West	1	1	408	953	896	1,06	-57	168,3	F
1	Bypass	1			438	1400	0,31	962	4,0	Α
2	B469	1	1	953	80	492	0,16	412	9,3	Α
2	Bypass	1			108	1400	0,08	1292	3,0	Α
3	B26 Ost	1	1	80	1163	1173	0,99	10	72,4	Е

Staulängen

		n-in	n-K	q-Kreis	q-e-vorh	q-e-max	L	L-95	L-99	QSV
	Name	-	-	Pkw-E/h	Pkw-E/h	Pkw-E/h	Fz	Fz	Fz	-
1	B26 West	1	1	408	953	896	35,7	53	61	F
1	Bypass	1			438	1400	-	-	-	Α
2	B469	1	1	953	80	492	0,1	1	1	Α
2	Bypass	1			108	1400	-	-	-	Α
3	B26 Ost	1	1	80	1163	1173	17,2	38	48	Е

Gesamt-Qualitätsstufe: F

Es wurde so gerechnet, als würden - trotz Überlastung - die vorgebenen Verkehre in den Kreis gelangen.

Gesamter Verkehr werkehr im Kreis ohne Bypass

Zufluss über alle Zufahrten: 27422196Pkw-E/hdavon Kraftfahrzeuge: 25832067Fz/h

Summe aller Wartezeiten : 84,6 49,5 Fz-h/h Mittl. Wartezeit über alle Fz : 117,9 86,2 s pro Fz

Berechnungsverfahren:

Kapazität : Deutschland: HBS 2015 Kapitel L5

Wartezeit : HBS 2015 + HBS 2009 = Akcelik, Troutbeck (1991) mit T = 3600

Staulängen : Wu, 1997

LOS - Einstufung : HBS (Deutschland)

Verkehrsfluss - Diagramm als Kreis

KP3 Planfall mit DR MS.krs Datei:

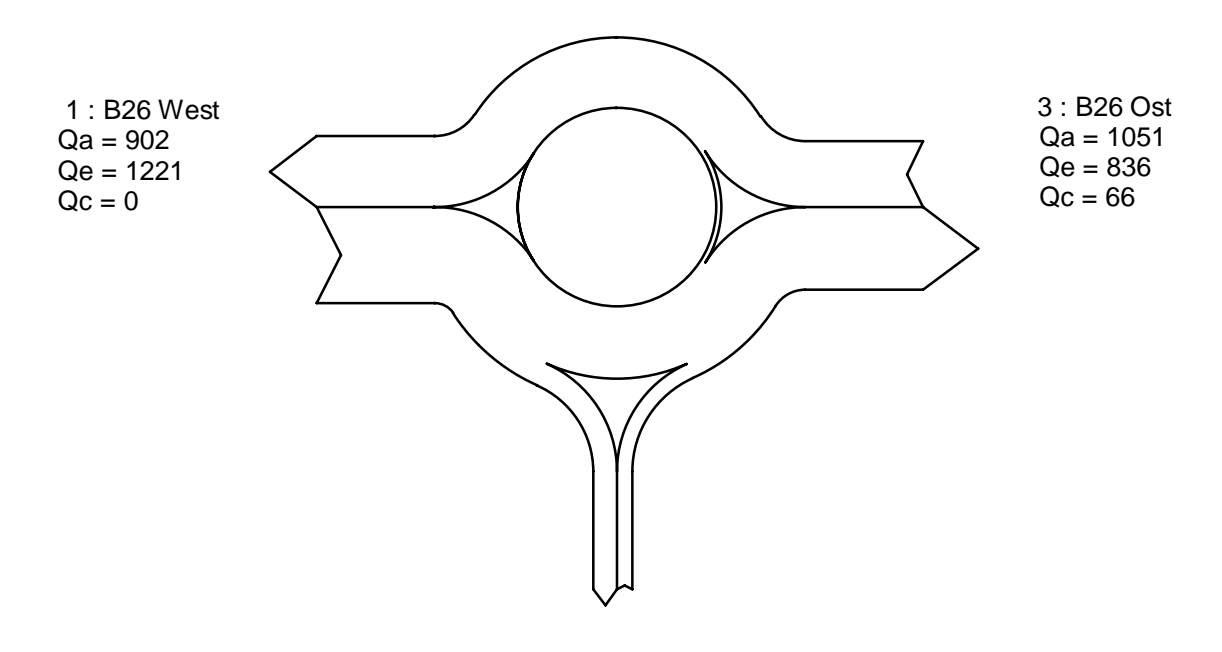
B26 / Westanbindung Aschaffenburg Projekt:

1516

Projekt-Nummer: Knoten: B26 / B469 Ost

Stunde: Morgenspitze Planfall mit Direktrampe

1000 Fz / h



2: B469 Qa = 299Qe = 195 Qc = 922

Sum = 2252

alle Kraftfahrzeuge

BRILON BONDZIO WEISER ING.-GES. FÜR VERKEHRSWESEN

44799 BOCHUM

Kapazität, mittlere Wartezeit und Staulängen - nur Fz.-Verkehr

Datei: KP3 Planfall mit DR MS.krs

Projekt: B26 / Westanbindung Aschaffenburg

Projekt-Nummer: 1516

Knoten: B26 / B469 Ost

Stunde: Morgenspitze Planfall mit Direktrampe

Wartezeiten

		n-in	n-K	q-Kreis	q-e-vorh	q-e-max	Х	Reserve	Wz	QSV
	Name	-	-	Pkw-E/h	Pkw-E/h	Pkw-E/h	-	Pkw-E/h	S	-
1	B26 West	1	1	0	954	1245	0,77	291	12,6	В
1	Bypass	1			340	1400	0,24	1060	3,5	Α
2	B469	1	1	954	67	491	0,14	424	8,6	Α
2	Bypass	1			140	1400	0,10	1260	2,9	Α
3	B26 Ost	1	1	67	873	1185	0,74	312	11,9	В

Staulängen

		n-in	n-K	q-Kreis	q-e-vorh	q-e-max	L	L-95	L-99	QSV
	Name	-	-	Pkw-E/h	Pkw-E/h	Pkw-E/h	Fz	Fz	Fz	-
1	B26 West	1	1	0	954	1245	2,2	9	14	В
1	Bypass	1			340	1400	-	-	-	Α
2	B469	1	1	954	67	491	0,1	0	1	Α
2	Bypass	1			140	1400	-	-	-	Α
3	B26 Ost	1	1	67	873	1185	1,9	8	12	В

Gesamt-Qualitätsstufe: B

Gesamter Verkehr Werkehr im Kreis ohne Bypass

Zufluss über alle Zufahrten : 2374 1894 Pkw-E/h davon Kraftfahrzeuge : 2252 1824 Fz/h

Summe aller Wartezeiten : 7,9 3,4 Fz-h/h Mittl. Wartezeit über alle Fz : 12,6 6,7 s pro Fz

Berechnungsverfahren:

Kapazität : Deutschland: HBS 2015 Kapitel L5

Wartezeit : HBS 2015 + HBS 2009 = Akcelik, Troutbeck (1991) mit T = 3600

Staulängen : Wu, 1997

LOS - Einstufung : HBS (Deutschland)

Verkehrsfluss - Diagramm als Kreis

Datei: KP3 Planfall mit DR AS.krs

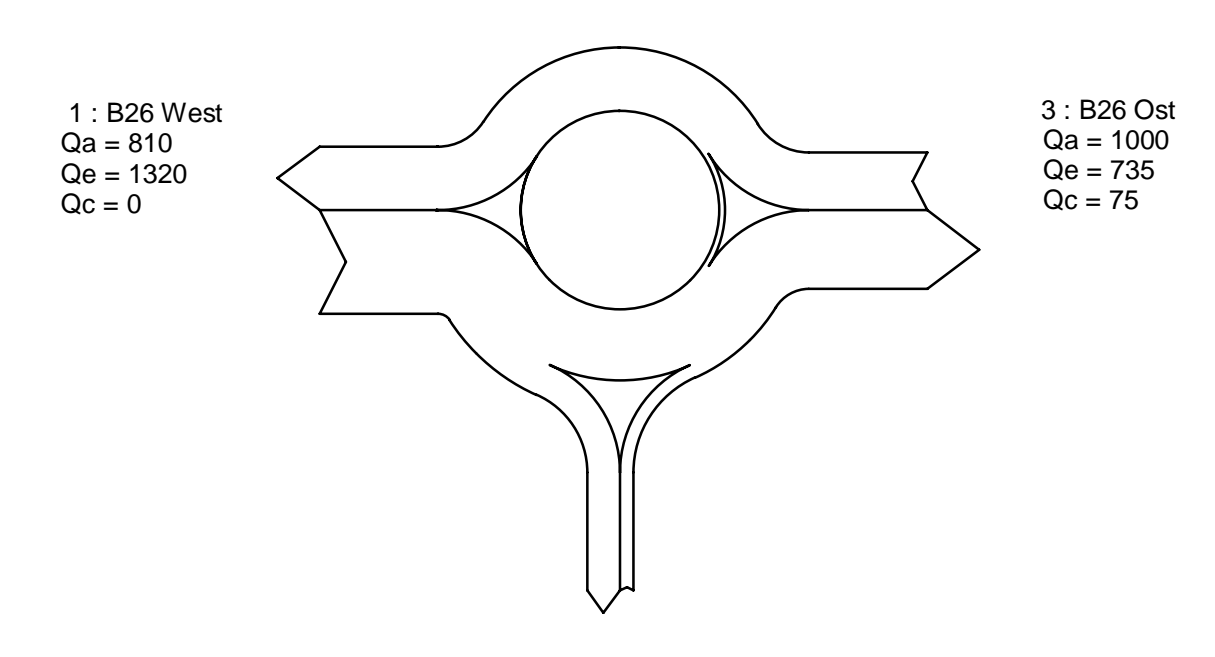
Projekt: B26 / Westanbindung Aschaffenburg

Projekt-Nummer: 1516

Knoten: B26 / B469 Ost

Stunde: Abendspitze Planfall mit Direktrampe

1000 Fz / h



2 : B469 Qa = 418 Qe = 173 Qc = 902

Sum = 2228

alle Kraftfahrzeuge

BRILON BONDZIO WEISER ING.-GES. FÜR VERKEHRSWESEN

44799 BOCHUM

Kapazität, mittlere Wartezeit und Staulängen - nur Fz.-Verkehr

Datei: 1516_KP3_P1_P3_AS_Direktanbindung_2018-12-13.krs

Projekt: B26 / Westanbindung Aschaffenburg

Projekt-Nummer: 1516

Knoten: B26 / B469 Ost

Stunde: Abendspitze Planfall mit Direktrampe

Wartezeiten

		n-in	n-K	q-Kreis	q-e-vorh	q-e-max	Х	Reserve	Wz	QSV
	Name	-	-	Pkw-E/h	Pkw-E/h	Pkw-E/h	-	Pkw-E/h	S	-
1	B26 West	1	1	0	953	1245	0,77	292	12,8	В
1	Bypass	1			438	1400	0,31	962	4,0	Α
2	B469	1	1	953	80	492	0,16	412	9,3	Α
2	Bypass	1			108	1400	0,08	1292	3,0	Α
3	B26 Ost	1	1	80	755	1173	0,64	418	8,8	Α

Staulängen

		n-in	n-K	q-Kreis	q-e-vorh	q-e-max	L	L-95	L-99	QSV
	Name	-	-	Pkw-E/h	Pkw-E/h	Pkw-E/h	Fz	Fz	Fz	-
1	B26 West	1	1	0	953	1245	2,2	9	14	В
1	Bypass	1			438	1400	-	-	-	Α
2	B469	1	1	953	80	492	0,1	1	1	Α
2	Bypass	1			108	1400	-	-	-	Α
3	B26 Ost	1	1	80	755	1173	1,2	5	8	Α

Gesamt-Qualitätsstufe: B

Gesamter Verkehr Werkehr im Kreis ohne Bypass

Zufluss über alle Zufahrten : 2334 1788 Pkw-E/h davon Kraftfahrzeuge : 2228 1712 Fz/h

Summe aller Wartezeiten : 7,5 3,4 Fz-h/h Mittl. Wartezeit über alle Fz : 12,1 7,2 s pro Fz

Berechnungsverfahren:

Kapazität : Deutschland: HBS 2015 Kapitel L5

Wartezeit : HBS 2015 + HBS 2009 = Akcelik, Troutbeck (1991) mit T = 3600

Staulängen : Wu, 1997

LOS - Einstufung : HBS (Deutschland)

			Erreichbare Quali	ät des Verk	ehrsablaut	s an planfr	eien Knot	enpunkten				
			Planfall:				Planfa	all 1 2030				
			Planfreier Knotenpunkt:		AS B 26 Aschaffenburg B 469							
<u> </u>	1		Teiknotenpunkt:	1	1							
1			npunktart:					R Obernburg				
3	Тур:				T .	l "		A1-2		QSV Min		
3			Hou	nt / Vortoilorfo	hrhahn abar		III	IV	V	Q3V WIIII		
4		I	Bemessungsverkehrsstärke:	pt / Verteilerfa [Kfz/h]	2.876	naib des Teili	cnotens					
5			SV-Anteil (oberhalb):	[%]	11%							
6			Steigung	[%]	<2%							
7	-		maßgebende Verkehrsstärke:	[PKW-E/h]	3184							
8	ı		Anzahl der Fahrstreifen	[-]	2					С		
9			außerh. BR	[-]	innerh. BR					_		
10			Geschwindigkeitsbeschränkung	[km/h]	ohne							
11			Auslastungsgrad	[-]	0,76							
12			erreichbare Qualitätsstufe	QSV [-]	С							
		_		Rampe aus	sfahrende Ve	rkehrsströme		,				
13			Bemessungsverkehrsstärke:	[Kfz/h]	559							
14			SV-Anteil (Einfahrt):	[%]	10%							
15			Steigung	[%]	<2%					_		
16	II		maßgebende Verkehrsstärke:	[PKW-E/h]	613					В		
17			Anzahl der Fahrstreifen	[-]	1							
18			Auslastungsgrad	[-]	0,34							
19		<u> </u>	erreichbare Qualitätsstufe	QSV [-]	В							
_												
-00	1	Г		T .	fahrende Vei	kehrsströme	 					
20	1		Bemessungsverkehrsstärke:	[Kfz/h]	 			1				
22	-		SV-Anteil (Einfahrt):	[%]								
23	Ш		Steigung	[%]								
24	1 "		maßgebende Verkehrsstärke:	[PKW-E/h]								
25			Anzahl der Fahrstreifen	[-]								
26			Auslastungsgrad erreichbare Qualitätsstufe	[-] QSV [-]								
			oncionate Qualitatistate	Q01[]	I		l.					
				Au	sfädelungsbe	reich						
27										С		
			erreichbare Qualitätsstufe	QSV [-]	С							
_				.,								
28		1	Demograph gaylarka haratärka.	1	rflechtungsbe	ereicn						
29	.,		Bemessungsverkehrsstärke:	[Kfz/h] [%]								
	IV		SV-Anteil (Einfahrt):	[70]								
30			erreichbare Qualitätsstufe	QSV [-]								
_												
	1			Eir	nfädelungsbe	reich	ı	1	1			
31			erreichbare Qualitätsstufe	QSV [-]								
					ı		ı					
			Qualität des Verkehrs	ablaufs der H	aupt-/ Verteil	erfahrbahn u	nterhalb des	Teilknotens				
32			Bemessungsverkehrsstärke:	[Kfz/h]	2.317							
33			SV-Anteil (unterhalb):	[%]	11%							
34			Steigung	[%]	<2%							
35			maßgebende Verkehrsstärke:	[PKW-E/h]	2571							
36	٧		Anzahl der Fahrstreifen	[-]	2					С		
37			Funktion und Lage		innerh. BR							
38	1		Geschwindigkeitsbeschränkung	[km/h]	ohne							
39			Auslastungsgrad	[-]	0,61							
40			erreichbare Qualitätsstufe	QSV [-]	С							
_												
<u></u>	1		Qualität des Verke	hrsablaufs de	s Teilknoten	s für die Bela	stungskomb	inationen	1			
41			erreichbare Qualitätsstufe	QSV [-]	С							
	Chrominate Analitationine And [1]											
				Maßgebende	Qualität des \	/erkehrsabla	ufs					
								^				
42			erreichbare Qualitätsstufe	QSV [-]				С				
D-1"												
Brilo Bono	izio											
	er Z	_										
Weise	eurgesell											

		Qualität des Verk	ehrsablau	fs an planfr				
	Planfall: Planfreier Knotenpunkt:					all 1 2030 naffenburg B 46	i9	
	Teiknotenpunkt:				L ZU MOU	2		
1 Teikno	otenpunktart:				Einfahrt F	R Obernburg		
2 Typ:			T	1		E1-2	ı	001/14
3			l I		III	IV	V	QSV Min
4	Bemessungsverkehrsstärke:	Haupt / Verteilerfa	2.317	naib des Teili	knotens			
5	SV-Anteil (oberhalb):	[%]	11%					
6	Steigung	[%]	<2%					
7	maßgebende Verkehrsstärke:	[PKW-E/h]	2571					
8 I	Anzahl der Fahrstreifen	[-]	2					С
9	außerh. BR	[-]	innerh. BR					
10	Geschwindigkeitsbeschränkung	[km/h]	ohne					
11	Auslastungsgrad	[-]	0,61					
12	erreichbare Qualitätsstufe	QSV [-]	С					
		Ramne aus	sfahrende Ve	rkehrsströme	,			
13	Bemessungsverkehrsstärke:	[Kfz/h]	Sidili Cride Ve	I KOM SSLI OME	<u> </u>			
14	SV-Anteil (Einfahrt):	[%]				1		
15	Steigung	[%]					_	
16 II	maßgebende Verkehrsstärke:	[PKW-E/h]						
17	Anzahl der Fahrstreifen	[-]						
18	Auslastungsgrad	[-]		<u> </u>				
19	erreichbare Qualitätsstufe	QSV [-]		<u> </u>				
		Damas -!-	fahrenda V-	rkehrsströme				
20	Demonstration and the properties of the second			kenrsstrome	' 			
21	Bemessungsverkehrsstärke: SV-Anteil (Einfahrt):	[Kfz/h] [%]	108 9%			+ +		
22	Steigung	[%]	<2%					
23 III	maßgebende Verkehrsstärke:	[PKW-E/h]	118					Α
24	Anzahl der Fahrstreifen	[-]	1					
25	Auslastungsgrad	[-]	0,07					
26	erreichbare Qualitätsstufe	QSV [-]	Α					
			<i></i>					
		Au	sfädelungsbe	ereicn				
27	erreichbare Qualitätsstufe	QSV [-]						
28	D	1	rflechtungsb	ereich	I	1		
20	Bemessungsverkehrsstärke: SV-Anteil (Einfahrt):	[Kfz/h] [%]						
30 IV	SV-Anten (Emaint).	[70]						
30	erreichbare Qualitätsstufe	QSV [-]						
			<i></i>					
		Eir	nfädelungsbe	reich				
31	erreichbare Qualitätsstufe	QSV [-]	С					С
20		kehrsablaufs der H	1	erfahrbahn u I	nterhalb des	Teilknotens	-	
32	Bemessungsverkehrsstärke:	[Kfz/h]	2.425					
34	SV-Anteil (unterhalb):	[%]	11%			+		
35	Steigung maßgebende Verkehrsstärke:	[%] [PKW-E/h]	<2% 2689					
36 V	Anzahl der Fahrstreifen	[-]	2009					С
37	Funktion und Lage	1,	innerh. BR					
38	Geschwindigkeitsbeschränkung	[km/h]	ohne					
39	Auslastungsgrad	[-]	0,64					
40	erreichbare Qualitätsstufe	QSV [-]	С					
			-	,				
1	Qualität des	Verkehrsablaufs de	es Teilknoten	s für die Bela	stungskomb	oinationen	ı	
41	erreichbare Qualitätsstufe	QSV [-]	С					
ı		Maßgebende	Qualität des	/erkehrsabla	ufs			
42						С		
	erreichbare Qualitätsstufe	QSV [-]						
Brilon								
Bondzio Weiser								
Ingenieurgesellsci								
lür Verkehrswesen n	nbH					Α	nlage B	-2

			Erreichbare Quali	tät des Verk	ehrsablaut	s an planfi	reien Knot	enpunkten				
			Planfall:		Planfall 1 2030							
			Planfreier Knotenpunkt:		AS B 26 Aschaffenburg B 469							
	1		Teiknotenpunkt:		3							
1			npunktart:					t FR BAB 3				
3	Тур:							A1-2		QSV Min		
3			Have	pt / Verteilerfa	hrhahn abar	 	III	IV	V	Q3V WIIII		
4			Bemessungsverkehrsstärke:	[Kfz/h]	2.417	naib des Teili	knotens					
5			SV-Anteil (oberhalb):	[%]	8%							
6			Steigung	[%]	<2%							
7			maßgebende Verkehrsstärke:	[PKW-E/h]	2601							
8	1		Anzahl der Fahrstreifen	[-]	2					С		
9			außerh. BR	[-]	innerh. BR							
10			Geschwindigkeitsbeschränkung	[km/h]	ohne							
11			Auslastungsgrad	[-]	0,63							
12			erreichbare Qualitätsstufe	QSV [-]	С							
<u>_</u>	1			1	sfahrende Ve	rkehrsströme) 	, ,	1			
13			Bemessungsverkehrsstärke:	[Kfz/h]	169		-	+				
14 15			SV-Anteil (Einfahrt):	[%]	5%	-	 	+ -				
16	Ш		Steigung	[%]	<2%					Α		
17	"		maßgebende Verkehrsstärke:	[PKW-E/h]	178		 	+ -		^		
18			Anzahl der Fahrstreifen	[-]	0,1							
19			Auslastungsgrad erreichbare Qualitätsstufe	[-] QSV [-]	0,1 A		<u> </u>	+ +				
			ondionibate Quantatoctate	40.[]			L	Į. Į				
				Rampe ein	fahrende Vei	rkehrsströme)					
20			Bemessungsverkehrsstärke:	[Kfz/h]								
21			SV-Anteil (Einfahrt):	[%]								
22			Steigung	[%]								
23	Ш		maßgebende Verkehrsstärke:	[PKW-E/h]								
24			Anzahl der Fahrstreifen	[-]								
25			Auslastungsgrad	[-]								
26			erreichbare Qualitätsstufe	QSV [-]								
					<i></i>	· · ·						
	1			Au	sfädelungsbe	ereich				•		
27			erreichbare Qualitätsstufe	QSV [-]	С					С		
_												
L.	1 1		1		rflechtungsbe	ereich		1 1	1			
28			Bemessungsverkehrsstärke:	[Kfz/h]								
29	IV		SV-Anteil (Einfahrt):	[%]				+				
30			erreichbare Qualitätsstufe	QSV [-]								
				Eir	nfädelungsbe	reich		, ,				
31			erreichbare Qualitätsstufe	QSV [-]								
	ı			144.11	1		1	1				
			Qualität des Verkehrs	ablaufs der H	aupt-/ Verteil	erfahrbahn u	nterhalb des	Teilknotens				
32			Bemessungsverkehrsstärke:	[Kfz/h]	2.248							
33			SV-Anteil (unterhalb):	[%]	8%							
34			Steigung	[%]	<2%				-			
35			maßgebende Verkehrsstärke:	[PKW-E/h]	2423							
36	V		Anzahl der Fahrstreifen	[-]	2					С		
37			Funktion und Lage	1	innerh. BR		ļ					
38			Geschwindigkeitsbeschränkung	[km/h]	ohne		-					
39			Auslastungsgrad	[-]	0,61		 	1				
40	l		erreichbare Qualitätsstufe	QSV [-]	С	L	I	1				
			Qualität des Verke	hreablanta d	s Tailknata	e für die Bel-	etungel-en-l	inationer				
 			Quainat des Verke	sasiauis de	o renknoten:	, rui uie Dela	o.ungakuni	iauonen				
41			erreichbare Qualitätsstufe	QSV [-]	С							
<u> </u>	1			Maßgebende	Qualität des \	/erkehrsabla	ufs					
42	ĺ							С				
<u></u>			erreichbare Qualitätsstufe	QSV [-]								
Brilo												
Bono Weise												
1	urgeselli	schaft										
Ingeni		n mbH							nlage B	_		

		ualität des Verk	ehrsablau	fs an planfr		•		
	Planfall: Planfreier Knotenpunkt:					III 1 2030 naffenburg B 46	i9	
	Teiknotenpunkt:					4a		
	otenpunktart:				Erste Einfa	ahrt FR BAB 3		
2 _{Typ:}			1 .	1		1-2	., 1	OCV Min
3		Haupt / Verteilerfa	hrhahn abar	 halb dos Toill	III	IV	V	QSV Min
4	Bemessungsverkehrsstärke:	[Kfz/h]	2.417	naib des Teili	Knotens			
5	SV-Anteil (oberhalb):	[%]	8%					
6	Steigung	[%]	<2%					
7	maßgebende Verkehrsstärke:	[PKW-E/h]	2601					
8 I	Anzahl der Fahrstreifen	[-]	2					С
9	außerh. BR	[-]	innerh. BR					
10	Geschwindigkeitsbeschränkung	[km/h]	ohne					
12	Auslastungsgrad erreichbare Qualitätsstufe	[-] QSV [-]	0,63 C					
	erretoribare Qualitatssiture	Q3V [-]	· ·			1		
		Rampe aus	sfahrende Ve	rkehrsströme)			
13	Bemessungsverkehrsstärke:	[Kfz/h]						
14	SV-Anteil (Einfahrt):	[%]						
15	Steigung	[%]						
16 II	maßgebende Verkehrsstärke:	[PKW-E/h]						
17	Anzahl der Fahrstreifen	[-]						
19	Auslastungsgrad erreichbare Qualitätsstufe	[-] QSV [-]				+		
	Silvionibaro Qualitatosturo	QOV [-]	I	1	<u>I</u>	1		
		Rampe ein	nfahrende Ve	rkehrsströme				
20	Bemessungsverkehrsstärke:	[Kfz/h]	358					
21	SV-Anteil (Einfahrt):	[%]	13%					
22	Steigung	[%]	<2%					
23	maßgebende Verkehrsstärke:	[PKW-E/h]	406					Α
24	Anzahl der Fahrstreifen	[-]	1					
26	Auslastungsgrad erreichbare Qualitätsstufe	[-] QSV [-]	0,23 A					
	onombaro quamatostaro	ασ. []		I.		<u>l</u>		
		Au	sfädelungsbe	ereich				
27	erreichbare Qualitätsstufe	QSV [-]						
	erreicribare Qualitatssture	Q3V [-]	I	I		1		
		Ve	rflechtungsb	ereich				
28	Bemessungsverkehrsstärke:	[Kfz/h]						
29 IV	SV-Anteil (Einfahrt):	[%]						
30	erreichbare Qualitätsstufe	QSV [-]						
							<u> </u>	
		Eir	nfädelungsbe	ereich				
31	erreichbare Qualitätsstufe	QSV [-]	С					С
<u>l</u>	Silvionibal o Qualitateotaro	ασ. []		I.		<u>l</u>		
	Qualität des Verl	kehrsablaufs der H	aupt-/ Verteil	erfahrbahn u	nterhalb des	Teilknotens		
32	Bemessungsverkehrsstärke:	[Kfz/h]	2.775					
33	SV-Anteil (unterhalb):	[%]	8%			<u> </u>		
34	Steigung	[%]	<2%					
35 36 V	maßgebende Verkehrsstärke:	[PKW-E/h]	3007					С
36 V 37	Anzahl der Fahrstreifen	[-]	2			+		C
38	Funktion und Lage Geschwindigkeitsbeschränkung	[km/h]	innerh. BR ohne					
39	Auslastungsgrad	[-]	0,72					
40	erreichbare Qualitätsstufe	QSV [-]	C					
	Qualität des \	erkehrsablaufs de	s Teilknoten	s für die Bela	stungskomb	inationen		
41	erreichbare Qualitätsstufe	QSV [-]	С					
		Maßgebende	Qualität des '	Verkehrsabla	ufs			
42						С		
	erreichbare Qualitätsstufe	QSV [-]						
Brilon								
Bondzio Weiser								
Ingenieurgesellsc							_	
für Verkehrswesen i						Α	nlage B	-4

		ualität des Verk	ehrsablau	fs an planfr		•				
	Planfall: Planfreier Knotenpunkt:					all 1 2030 naffenburg B 46	i9			
	Teiknotenpunkt:		AS B 26 Aschaffenburg B 469 4b							
	otenpunktart:				Zweite Einf	ahrt FR BAB 3				
2 _{Typ:}			ı	П	III	E1-2	V	QSV Min		
3		Haupt / Verteilerfa	1	1		IV	v	Q3V WIIII		
4	Bemessungsverkehrsstärke:	[Kfz/h]	2.775	10.00						
5	SV-Anteil (oberhalb):	[%]	8%							
6	Steigung	[%]	<2%							
7	maßgebende Verkehrsstärke:	[PKW-E/h]	3004					•		
8 I	Anzahl der Fahrstreifen	[-]	2					С		
10	außerh. BR	[-]	innerh. BR							
11	Geschwindigkeitsbeschränkung Auslastungsgrad	[km/h] [-]	ohne 0,72							
12	erreichbare Qualitätsstufe	QSV [-]	C C							
1 1		[3,5,1]			l	1	ı.			
		Rampe aus	sfahrende Ve	rkehrsströme)					
13	Bemessungsverkehrsstärke:	[Kfz/h]								
14	SV-Anteil (Einfahrt):	[%]								
15	Steigung	[%]								
16 II 17	maßgebende Verkehrsstärke:	[PKW-E/h]								
18	Anzahl der Fahrstreifen	[-]				+				
19	Auslastungsgrad erreichbare Qualitätsstufe	[-] QSV [-]								
		[40.[]	1	1	1	1	L			
		Rampe ein	nfahrende Ve	rkehrsströme	1					
20	Bemessungsverkehrsstärke:	[Kfz/h]	270							
21	SV-Anteil (Einfahrt):	[%]	32%							
22	Steigung	[%]	<2%					A		
23 III 24	maßgebende Verkehrsstärke:	[PKW-E/h]	355					Α		
25	Anzahl der Fahrstreifen	[-]	1							
26	Auslastungsgrad erreichbare Qualitätsstufe	QSV [-]	0,2 A							
						1				
_		Au	sfädelungsbe	ereich						
27	erreichbare Qualitätsstufe	QSV [-]								
-	onoionistaro qualitatistaro	[40.[]	ı	ı	l	1	1			
		Ve	rflechtungsb	ereich						
28	Bemessungsverkehrsstärke:	[Kfz/h]								
29 IV	SV-Anteil (Einfahrt):	[%]								
30	erreichbare Qualitätsstufe	QSV [-]								
		Eir	nfädelungsbe	ereich	1	, ,				
31	erreichbare Qualitätsstufe	QSV [-]	D					D		
	Qualität des Ver	kehrsablaufs der H	aupt-/ Verteil	erfahrbahn u	nterhalb des	Teilknotens				
32	Bemessungsverkehrsstärke:	[Kfz/h]	3.045							
33	SV-Anteil (unterhalb):	[%]	10%							
35	Steigung	[%]	<2%							
35 V	maßgebende Verkehrsstärke:	[PKW-E/h]	3362					D		
37 V	Anzahl der Fahrstreifen	[-]	2 innerh BR							
38	Funktion und Lage Geschwindigkeitsbeschränkung	[km/h]	innerh. BR ohne							
39	Auslastungsgrad	[-]	0,80							
40	erreichbare Qualitätsstufe	QSV [-]	D							
	Qualität des \	erkehrsablaufs de	s Teilknoten	s für die Bela	stungskomb I	inationen	Т			
41	erreichbare Qualitätsstufe	QSV [-]	D		<u> </u>					
		Maßgebende	Qualität des '	Verkehrsabla	ufs					
42						D				
	erreichbare Qualitätsstufe	QSV [-]								
Brilon										
Bondzio Weiser										
Ingenieurgesellsc							_	_		
für Verkehrswesen i	Hdm					Α	nlage B	-5		